

**ZÁPADOČESKÁ UNIVERZITA V PLZNI  
FAKULTA ELEKTROTECHNICKÁ**

**KATEDRA ELEKTROENERGETIKY A EKOLOGIE**

# **DIPLOMOVÁ PRÁCE**

**Rozběhové charakteristiky asynchronního stroje**

**ZÁPADOČESKÁ UNIVERZITA V PLZNI**

**Fakulta elektrotechnická**

**Akademický rok: 2013/2014**

## **ZADÁNÍ DIPLOMOVÉ PRÁCE**

(PROJEKTU, UMĚLECKÉHO DÍLA, UMĚLECKÉHO VÝKONU)

Jméno a příjmení: **Bc. Konstantin RYBA**  
Osobní číslo: **E12N0024K**  
Studijní program: **N2644 Aplikovaná elektrotechnika**  
Studijní obor: **Aplikovaná elektrotechnika**  
Název tématu: **Rozběhové charakteristiky asynchronního stroje**  
Zadávající katedra: **Katedra elektroenergetiky a ekologie**

### **Z á s a d y p r o v y p r a c o v á n í :**

1. Navrhněte vhodnou metodiku pro výpočet rozběhových charakteristik a provozních stavů asynchronního stroje.
2. Vytvořte model včetně uživatelského prostředí pro jejich výpočet.
3. Výsledky graficky a číselně interpretujte.



Rozsah grafických prací: podle doporučení vedoucího  
Rozsah pracovní zprávy: 30 - 40 stran  
Forma zpracování diplomové práce: tištěná/elektronická  
Seznam odborné literatury:


1. Pyrhönen, J., Jokinen, T., Hrabovcová, V.: Design of rotation electrical machines, John Wiley & Sons, Ltd, 2008
2. Kopylov, I., P.: Stavba elektrických strojů, SNTL/MIR, 1988
3. Náповěda SW použitého k analýze

Vedoucí diplomové práce: Ing. Vladimír Kindl, Ph.D.  
Katedra elektromechaniky a výkonové elektroniky

Datum zadání diplomové práce: 14. října 2013  
Termín odevzdání diplomové práce: 12. května 2014

  
Doc. Ing. Jiří Hammerbauer, Ph.D.  
děkan



  
Doc. Ing. Karel Noháč, Ph.D.  
vedoucí katedry

V Plzni dne 14. října 2013

**Abstrakt**

Tato práce se zabývá výpočtem rozběhových charakteristik asynchronního stroje. K simulaci těchto charakteristik byl vytvořen program, který pomůže uživateli zohlednit vliv tvaru drážky při návrhu asynchronního stroje. Vzhledem k nutné znalosti MATLABu, obsahuje práce také vysvětlení prvků tohoto programu a popis postupu k získání požadovaných výstupů.

**Klíčová slova**

Asynchronní stroj, rozběhové charakteristiky, MATLAB, skinefekt, simulace.

## **Abstract**

This thesis deals with an analytical method for calculation of run up characteristics of an induction machine. The simulation program was implemented to help the user to specify the effect of the shape of the rotor slot, during the machines design. While the knowledge of Matlab needed, the thesis contains an explanation of the elements of this program and description of the procedure for obtaining the required outputs.

## **Key words**

Induction machine, torque/slip characteristics, MATLAB, skin effect, simulation

## **Prohlášení**

Prohlašuji, že jsem tuto diplomovou práci vypracoval samostatně, s použitím odborné literatury a pramenů uvedených v seznamu, který je součástí této diplomové práce.

.....

podpis

V Plzni dne 29.4.2014

Konstantin Ryba

## **Poděkování**

Na tomto místě bych rád poděkoval vedoucím práce, panu doktoru Vladimíru Kindlovi, za cenné rady a čas, který mi věnoval při konzultacích. Dále bych rád poděkoval celé své rodině a přítelkyni za podporu a trpělivost během celého mého studia. Děkuji.

# Obsah

<b>OBSAH</b> .....	<b>8</b>
<b>SEZNAM SYMBOLŮ A ZKRATEK</b> .....	<b>9</b>
<b>ÚVOD</b> .....	<b>10</b>
<b>1 ASYNCHRONNÍ STROJ</b> .....	<b>11</b>
1.1 PRINCIP ASYNCHRONNÍHO STROJE .....	11
1.2 NÁHRADNÍ SCHÉMA ASYNCHRONNÍHO STROJE .....	12
1.3 KONSTRUKČNÍ ŘEŠENÍ ROTOROVÉHO VINUTÍ .....	14
1.4 ROZBĚHOVÉ CHARAKTERISTIKY .....	16
1.5 OBECNÁ METODA VÝPOČTU ČINITELŮ $K_R$ A $K_X$ .....	19
<b>2 MATLAB</b> .....	<b>24</b>
2.1.1 Výpočetní jádro .....	24
2.1.2 Grafický subsystém .....	24
2.1.3 Otevřená architektura .....	24
2.1.4 Pracovní nástroje .....	25
2.1.5 Toolboxy .....	25
2.2 HANDLES .....	25
2.2.1 Dědičnost .....	26
2.2.2 Root .....	26
2.2.3 Figure .....	26
2.2.4 Axes .....	26
2.2.5 Uicontrol .....	27
2.2.6 GUIDE .....	28
2.2.7 Zpětnovazební funkce Callback .....	30
<b>3 APLIKACE PRO VÝPOČET ROZBĚHOVÝCH CHARAKTERISTIK</b> .....	<b>31</b>
3.1 VLASTNÍ NÁVRH APLIKACE .....	31
3.2 POUŽITÍ APLIKACE .....	36
<b>ZÁVĚR</b> .....	<b>42</b>
<b>SEZNAM LITERATURY A INFORMAČNÍCH ZDROJŮ</b> .....	<b>43</b>
<b>PŘÍLOHA A</b> .....	<b>1</b>
ÚPLNÝ VÝPIS APLIKACE .....	1



## Seznam symbolů a zkratek

$b_d$	šířka drážky	[m]
$b_t$	šířka tyče	[m]
$f_2$	frekvence proudu v rotoru	[Hz]
$h_t$	výška tyče v drážce	[m]
$I_1$	statorový proud	[A]
$I_2$	rotorový proud	[A]
$k_r$	činitel změny odporu	[-]
$k_x$	činitel změny magnetické vodivosti	[-]
$n$	otáčky rotoru	[Ot*min <sup>-1</sup> ]
$n_s$	synchronní otáčky točivého magnetického pole	[Ot*min <sup>-1</sup> ]
$R_1$	statorový odpor	[Ω]
$R_2$	rotorový odpor	[Ω]
$R_{fe}$	odpore v příčné větvi	[Ω]
$r_i$	odpor i-té vrstvy	[Ω]
$R_t$	odpor tyče bez vlivu skin efektu	[Ω]
$R_{t\xi}$	odpor tyče s vlivem skin efektu	[Ω]
$s$	skluz	[-]
$S_i$	průřez i-té vrstvy	[m <sup>2</sup> ]
$U_1$	napětí na statoru	[V]
$U_2$	napětí na rotoru	[V]
$U_{i1}$	indukované napětí	[V]
$U_{i2}$	indukované napětí	[V]
$U_{i20}$	přepočtené indukované napětí	[V]
$X_{1\sigma}$	rozptylová reaktance statoru	[Ω]
$X_{2\sigma}$	rozptylová reaktance rotoru	[Ω]
$x_i$	reaktance i-té vrstvy	[Ω]
$Z_{1h}$	impedance příčné větve	[Ω]
$\omega_1$	synchronní úhlová rychlost statoru	[rad*s <sup>-1</sup> ]
$\omega_2$	úhlová rychlost rotoru	[rad*s <sup>-1</sup> ]
$\lambda'_d$	magnetická vodivost bez vlivu skin efektu	[H]
$\lambda'_{d\xi}$	magnetická vodivost s vlivem skin efektu	[H]
$\lambda_i$	geometrickou vodivost magnetické trubice	[-]
$\mu_0$	permeabilita vakua	[H*m <sup>-1</sup> ]
$\xi$	redukovaná výška vodiče	[m]
$\rho_t$	měrný elektrický odpor	[Ω*m]
$\rho_{t\theta}$	rezistivita materiálu tyče	[Ω*m]

## Úvod

Asynchronní stroj, ačkoli byl vynalezen již před více než sto třiceti lety, je stále nejpoužívanějším elektrickým strojem. Princip tohoto stroje je vysvětlen v úvodní části této práce, na kterou navazuje vysvětlení pojmu náhradní schéma. V kapitole konstrukční řešení rotorového vinutí je popsán rozdíl a výhody asynchronních motorů podle typu vinutí, typu klece a prvně se zde zmiňuje jev zvaný skinefekt. Tím se autor dostává k rozběhovým charakteristikám.

Asynchronní stroj může být používán ve dvou pracovních režimech a to buď jako motor nebo jako generátor. Bude-li třeba použít například motor v nějakém pohonu, nestačí pouze zjistit hodnoty uvedené na štítku motoru, ale je třeba znát také rozběhové charakteristiky, jako jsou momentová a výkonová charakteristika, průběh proudů a také průběh účinníku. Důležitou hodnotou, kterou je třeba brát v úvahu při výběru motoru je tzv. záběrný moment, který se u jednotlivých typů motorů může výrazně lišit. Tvar momentové charakteristiky je ovlivněn mimo jiné i tvarem rotorové drážky. Při chybně navrženém tvaru drážky by mohlo dojít k nadměrnému ohřevu části zubu a tím i celkové poruše stroje.

Hlavním cílem této práce bylo zjistit, zda vůbec a pokud, tak jak velký vliv má tvar rotorové drážky na průběh rozběhových charakteristik. Za tímto účelem byl v programu MATLAB vytvořen program, který pomůže uživateli při návrhu asynchronního stroje zjistit, jak by drobná změna v tvaru drážky mohla přizpůsobit stroj daným požadavkům.

Vzhledem k tomu, že k použití vytvořeného programu je třeba alespoň základních znalostí práce s MATLABem, jsou níže v této práci popsány jednotlivé prvky MATLABU a především krok po kroku tak, jak by měl uživatel postupovat, aby se dostal k požadovaným výstupům.

Na závěr jsou pomocí programu porovnány vlivy konkrétních dvou tvarů drážek na momentovou a výkonovou charakteristiku, čímž dojde k ověření funkčnosti programu.

# 1 Asynchronní stroj

Asynchronní stroj byl vynalezen v roce 1883 americkým vynálezcem srbského původu Nikolou Teslou. Od té doby stroj prošel různými stadii vývoje a v dnešní době, díky své jednoduché a spolehlivé konstrukci, je nejpoužívanějším elektrickým točivým strojem. Asynchronní stroj je používán především jako motor, kde přeměňuje elektrickou energii na mechanickou práci.

## 1.1 Princip asynchronního stroje

Princip asynchronního stroje, v zahraniční literatuře překládán jako induction machine, spočívá ve vzájemném působení dvou polí - statorového a rotorového. Točivé magnetické pole statoru vzniká díky statorovému třífázovému vinutí, které je prostorově posunuté o  $120^\circ$ . Toto vinutí je napájeno třemi proudy, kde jednotlivé fáze jsou vzájemně časově posunuty o  $120^\circ$ . Statorové pole indukuje napětí do rotorového vinutí, které se v tomto poli nachází. Jelikož rotorové vinutí je ve většině případů spojeno do krátka, začne rotorem protékat proud, který zapříčiní vznik rotorového pole. Vzájemnou interakci těchto polí dochází k vyvolání vnitřního elektromagnetického momentu. Vzniklý moment otáčí rotorem ve směru otáčení pole statoru. Dochází k přeměně elektrické energie na mechanickou a asynchronní stroj (dále AS) je tak v režimu motor.

AS může pracovat i v režimu generátor. V tomto případě dodává do sítě činný výkon, čili mechanickou energii přeměňuje na elektrickou. Je nutné, aby byl AS připojen k síti, která musí stroj magnetovat a zároveň mechanické otáčky musí být vyšší než synchronní.

Veličina popisující rozdíl mezi úhlovými rychlostmi pole statoru a rotou se nazývá skluz (angl. Slip) a je označována jako  $s$ . Jedná se o bezrozměrnou veličinu, kdy v intervalu od 0 do 1 stroj pracuje v motorickém režimu. V oblasti nad-synchronních otáček je skluz  $s < 0$  a stroj je v režimu generátor.

$$s = \frac{(\omega_1 - \omega)}{\omega_1} = \frac{(n_s - n)}{n_s} \quad [-]$$

1.1

Kde:

$s$  – skluz [-],

$\omega_1$  – synchronní úhlová rychlost statoru [rad/s],

$\omega$  – úhlová rychlost rotoru [rad/s],

$n_s$  – synchronní otáčky točivého magnetického pole [ot/min],  
 $n$  – otáčky rotoru [ot/min].

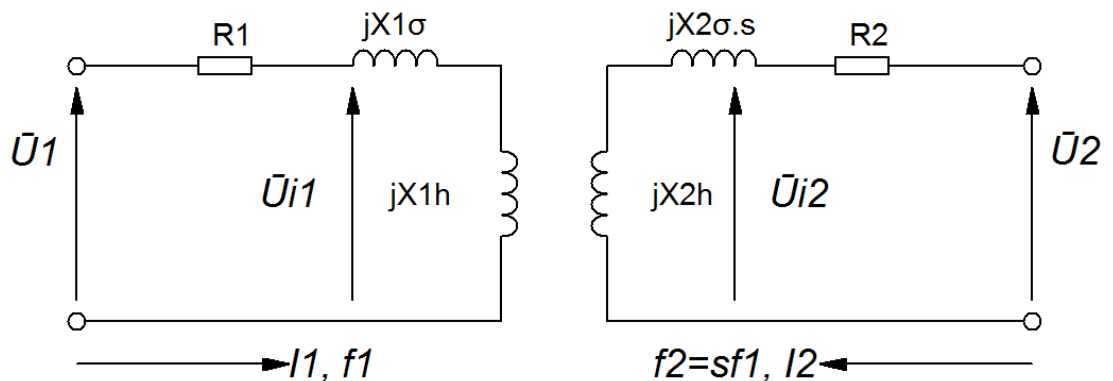
## 1.2 Náhradní schéma asynchronního stroje

Náhradním schématem je nazýván takový elektrický obvod, který nevysvětluje fyzikální jevy asynchronního stroje, ale pouze popisuje jeho chování při určitých omezeních. Zjednodušené předpoklady pro tvorbu náhradního schématu (dále jen NS), který má tvar T-článku jsou [1]:

- Harmonické průběhy elektrických veličin,
- Energie se přenáší ze sítě jen pracovní harmonickou,
- Parametry jsou konstantní a symetrické,
- Z počátku zanedbávány ztráty v železe.

Při respektování zjednodušených předpokladů a předpokladu symetrie, můžeme třífázový model redukovat na model jednofázový.

Takto získaný obvod lze bez obtíží analyticky řešit pomocí symbolicko-komplexní metody. Tato metoda byla před příchodem výpočetní techniky prakticky jediná, jež se dala použít pro ověření výsledků během návrhu stroje.



**Obrázek 1.1-** Obvodové znázornění asynchronního stroje

Zdroj: Vlastní zpracování podle [2]

Po analýze NS na *Obr. 1.1* dostaneme základní rovnice 1.2:

$$\begin{aligned}\bar{U}_1 &= (R_1 + jX_{1\sigma})\bar{I}_1 + \bar{U}_{i1} \\ \bar{U}_2 &= (R_2 + jsX_{2\sigma})\bar{I}_2 + \bar{U}_{i2}\end{aligned}\quad 1.2$$

Kde:

$\bar{U}_1$  – napětí na statoru [V],

$R_1$  – statorový odpor [ $\Omega$ ],

$X_{1\sigma}$  – rozptylová reaktance statoru [ $\Omega$ ],

$\bar{I}_1$  – statorový proud [A],

$\bar{U}_{i1}$  – indukované napětí [V],

$\bar{U}_2$  – napětí na rotoru [V],

$R_2$  – rotorový odpor [ $\Omega$ ],

$X_{2\sigma}$  – rozptylová reaktance rotoru [ $\Omega$ ],

$\bar{I}_2$  – rotorový proud [A],

$\bar{U}_{i2}$  – indukované napětí [V],

Díky rozdílné frekvenci statoru a rotoru je třeba rovnici pro rotor v soustavě rovnic 1.2 vydělit skluzem  $s$ . Výsledkem jsou rovnice převedené na kmitočet statoru. Dále je pak třeba vzít v úvahu, že:

$$\bar{U}_{i2} = s * \bar{U}_{i20}\quad 1.3$$

Získáváme:

$$\begin{aligned}\bar{U}_1 &= (R_1 + jX_{1\sigma})\bar{I}_1 + \bar{U}_{i1} \\ \frac{\bar{U}_2}{s} &= \left(\frac{R_2}{s} + jX_{2\sigma}\right)\bar{I}_2 + \bar{U}_{i20}\end{aligned}\quad 1.4$$

Kde:

$\bar{U}_{i20}$  – přepočtené indukované napětí [V].

Jako další krok je třeba přepočítat rotorovou stranu na statorovou, k tomu je nutné vypočítat převod [2].

Za předpokladu, že rotorové vinutí je spojeno do krátka bude platit rovnice 1.5:

$$U_2 = 0$$

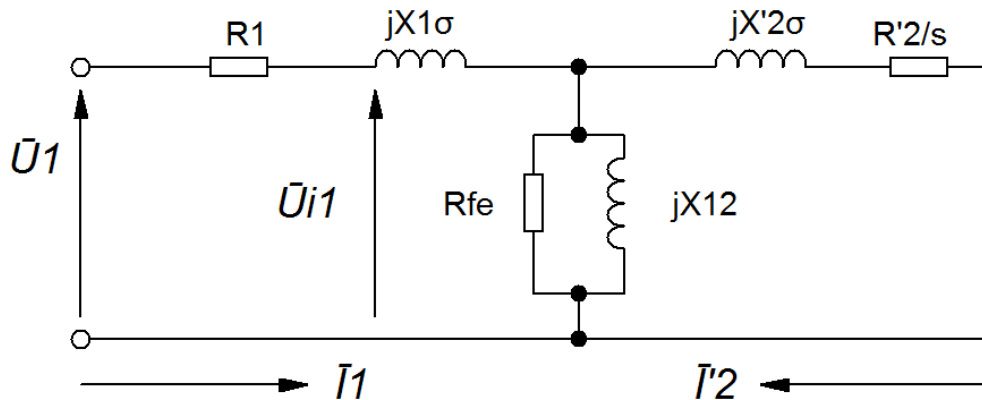
1.5

Tímto dostáváme konečné základní rovnice NS 1.6. Díky provedeným úpravám lze v NS spojit stator a rotor a tím nakreslit dvojbran typu T Obr. 1.2.

$$\bar{U}_1 = (R_1 + jX_{1\sigma})\bar{I}_1 + \bar{U}_{i1}$$

$$0 = \left(\frac{R'_2}{s} + jX'_{2\sigma}\right)\bar{I}'_2 + \bar{U}_{i1}$$

1.6



**Obrázek 1.2 - NS asynchronního stroje ve tvaru T**

Zdroj: Vlastní zpracování podle [2]

Jak bylo už dříve uvedeno, jedním ze zjednodušovacích předpokladů je zanedbání ztrát v železe. Nyní je ale třeba tyto ztráty také započítat. Tyto ztráty v NS jsou reprezentovány odporem v příčné větvi  $R_{fe}$ . Z NS lze dopočítat také impedanci příčné větve, jak znázorňuje rovnice 1.7:

$$\bar{Z}_{1h} = \frac{jX_{12} * R_{fe}}{R_{fe} + jX_{12}}$$

1.7

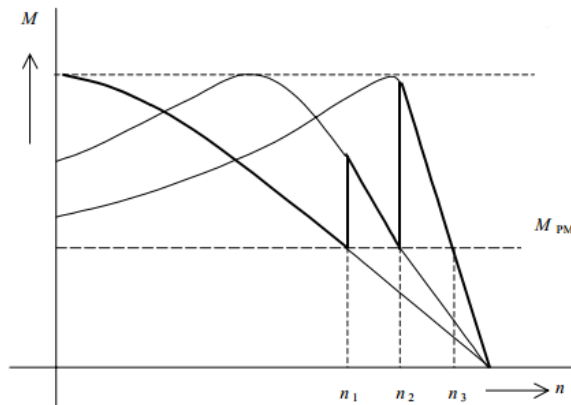
Kde:

$\bar{Z}_{1h}$  - impedance příčné větve [ $\Omega$ ]

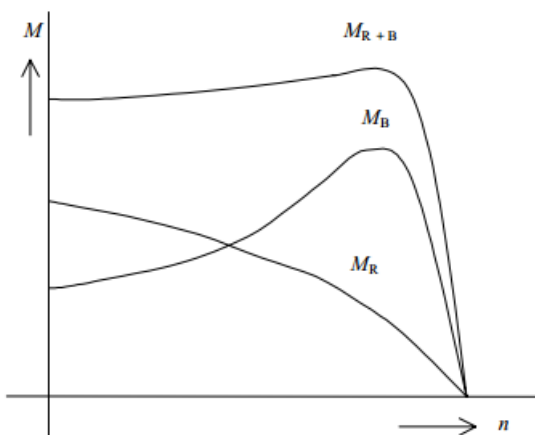
### 1.3 Konstrukční řešení rotorového vinutí

Asynchronní motor můžeme rozdělit podle provedení rotorového vinutí do dvou kategorií. V první řadě to je asynchronní motor (dále AM) s kroužkovým rotorem a AM s klecí na krátko. První typ má v drážkách rotoru třífázové vinutí stejné jako na statoru. Toto vinutí je spojeno do hvězdy a vyvedeno na nalisované kroužky na hřídeli. Na tyto kroužky doléhají kluzné uhlíkové kontakty, jinak zvané kartáče. Přes tyto kontakty je vinutí vyvedeno ven na svorkovnici. Největší výhodou tohoto konstrukčního řešení je

bezespору možnost připojit do obvodu rotoru rozběhové odpory a tím upravit tvar momentové charakteristiky tak, aby byl maximální moment roven záběrnému. Při rozběhu z nuly, je třeba zařadit největší odpor a s rostoucími otáčkami postupně vyřazovat odporové stupně až do vyzkratování vinutí. Po vyzkratování se AM s kroužkovou kotvou začne chovat jako AM s kotvou do krátko. Na *Obr. 1.3* můžeme vidět skokovou změnu momentu při vyřazování odporu z obvodu.



**Obrázek 1.3 - Momentová char. AM s kotvou kroužkovou**  
Zdroj: [5]



**Obrázek 1.4 - Momentová char AM s dvojitou klecí na krátko**  
Zdroj: [5]

Kleci nakrátko se rozumí soustava rotorových tyčí, které jsou uloženy po obvodu rotoru a jsou vzájemně propojené na obou koncích kruhy. Zvláštními druhy těchto klecí jsou tzv. klec dvojitá a klec vírová. Klec vírová se od klasické liší hloubkou drážky, u této klece je využit povrchový jev, skin efekt, ke zvýšení záběrného momentu. Obdobně to je i s klecí dvojitou, kde hlavní myšlenkou je vytvoření jedné klece pro rozběh a druhé pro ustálený chod. Výsledný moment takového řešení je součtem momentů obou klecí a je zobrazen na *Obr. 1.4*

## 1.4 Rozběhové charakteristiky

Podle [1] je zvláštním druhem povrchových jevů jev zvaný skin efekt. Tento jev se projevuje v rotorových tyčích, které mají velkou výšku drážky a kde dochází ke zvýšení frekvence proudu. Vlivem skin efektu dochází k vytlačování proudu z celé plochy drážky k její části blízké vzduchové mezeře, tj. ve směru kolmém na směr rozptylových indukčních čar v drážce. To je zapříčiněné tím, že proudovodič vlivem vlastního magnetického pole indukuje sám do sebe vířivé proudy, které způsobí, že proudová hustota je vytlačovaná na povrch proudovodiče. Tím, že je proudová hustota rozdílná, tedy v horní části drážky vzrůstá a v dolní klesá, dochází k tomu, že odpor tyče roste a reaktance tyče klesá. Tyto změny mají nemalý vliv na rozběhové charakteristiky a je nutné s nimi počítat.

Při návrhu asynchronního motoru s klecovým vinutím se tento jev projevuje příznivě tím, že zvětšuje záběrný moment motoru. Na druhou stranu, špatným návrhem tvaru tyče může dojít k nadměrnému ohřevu části zubu a tím k jeho deformaci nebo dokonce vylomení a následné havárii stroje.

Dle [3] je výhodnější při výpočtech určovat místo odporu a reaktance tyčí jejich poměrnou změnu a to činitele  $k_r$  a  $k_x$ . Činitel  $k_r$  udává, kolikrát se zvětší odpor tyče s vlivem skin efektu oproti odporu tyče bez jeho působení.

$$k_R = \frac{R_{t\xi}}{R_t} \quad 1.8$$

Kde:

$k_R$  – činitel změny odporu [-]

$R_{t\xi}$  – odpor tyče s vlivem skin efektu [ $\Omega$ ]

$R_t$  – odpor tyče bez vlivu skin efektu [ $\Omega$ ]

Obdobně  $k_x$  udává, jak se změní činitel magnetické vodivosti části drážky s procházejícím proudem a vlivem skin efektu oproti téže části drážky při rovnoměrném rozložení proudu hustoty v tyči.



$$k_x = \frac{\lambda'_{d\xi}}{\lambda'_d} \quad 1.9$$

Kde:

$k_x$  - činitel změny magnetické vodivosti [-]

$\lambda'_{d\xi}$  - magnetická vodivost s vlivem skin efektu [H]

$\lambda'_d$  - magnetická vodivost bez vlivu skin efektu [H]

Pro analytické řešení činitelů  $k_x$  a  $k_r$  existují tyto vztahy 1.10:

$$k_R = \xi \frac{\sinh 2\xi + \sin 2\xi}{\cosh 2\xi - \cos 2\xi} \quad 1.10$$

$$k_x = \frac{3}{2\xi} \frac{\sinh 2\xi - \sin 2\xi}{\cosh 2\xi - \cos 2\xi}$$

Ovšem tyto vztahy jsou omezeny několika předpoklady, a to:

- Obdélníkový tvar tyče
- Konstantní rezistivita materiálu tyče na celé ploše průřezu.
- Permeabilita železa blíží se nekonečnu.
- Přímkové magnetické indukční čáry v drážce

V těchto vztazích figuruje  $\xi$  tzv. redukovaná výška vodiče. Jedná se o bezrozměrnou veličinu, která je definovaná vztahem 1.11:

$$\xi = 2\pi h_t \sqrt{\frac{b_t f_2}{b_d \rho_{t\vartheta}}} * 10^{-7} \quad 1.11$$

Kde:

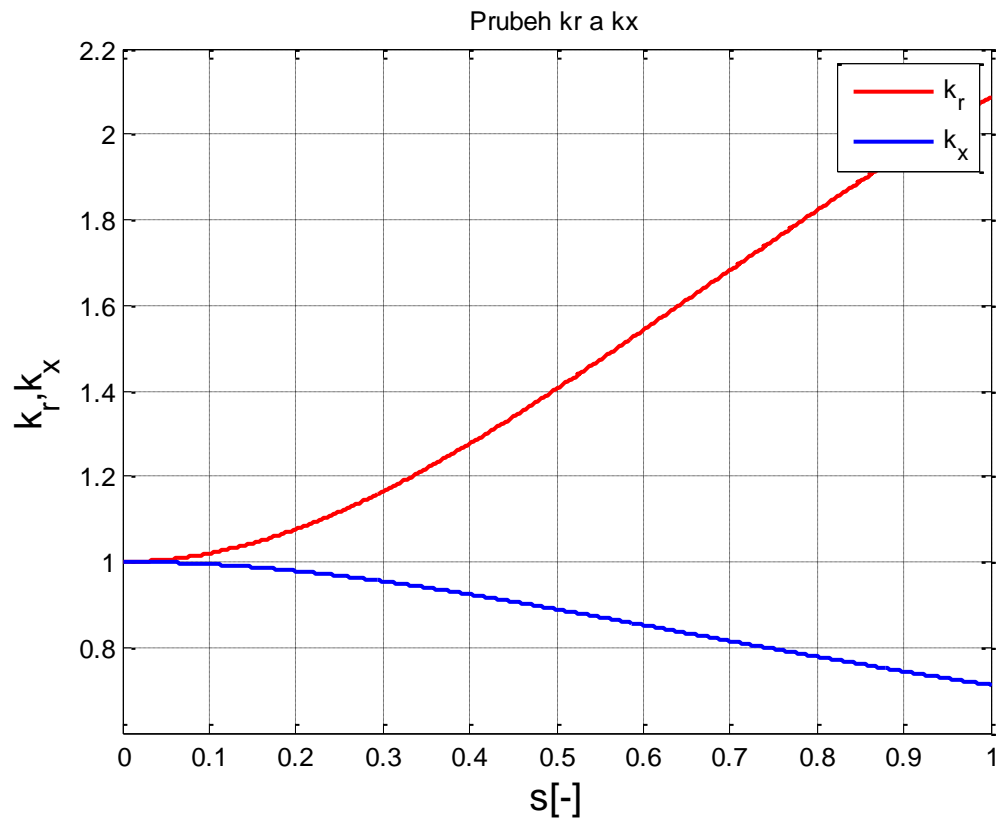
$h_t$  - výška tyče v drážce [m]

$b_t, b_d$  - šířka tyče a šířka drážky [m]

$f_2$  - frekvence proudu v rotoru [Hz]

$\rho_{t\vartheta}$  - rezistivita materiálu tyče [ $\Omega \cdot m$ ]

Na následujícím obrázku Obr. 1.5 je znázorněn průběh činitelů  $k_r$  a  $k_x$  pro obdélníkový tvar drážky s výškou 25mm a šířkou 1mm. Tyto průběhy jsou počítány odlišnou metodou, než je uvedeno výše. Ta je popsána v následující kapitole.



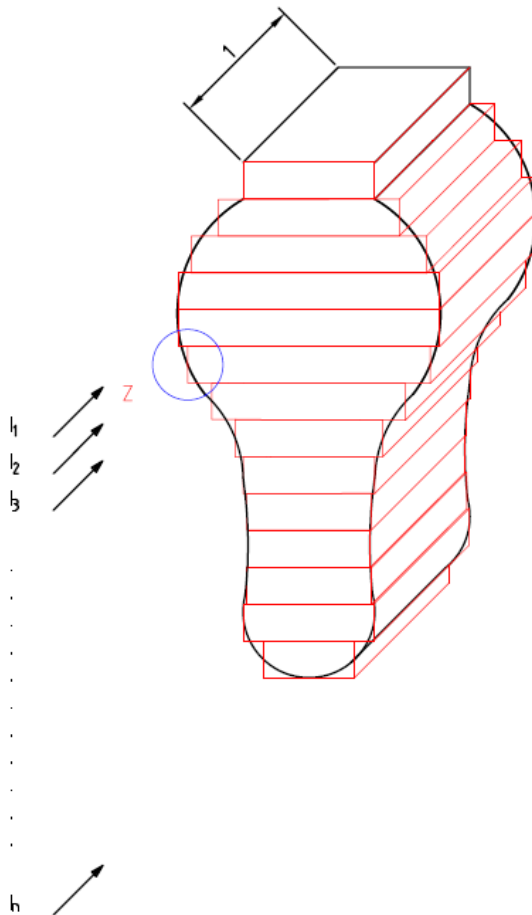
**Obrázek 1.5 – Průběh  $k_r$  a  $k_x$**   
Zdroj: Vlastní zpracování

## 1.5 Obecná metoda výpočtu činitelů $k_r$ a $k_x$ .

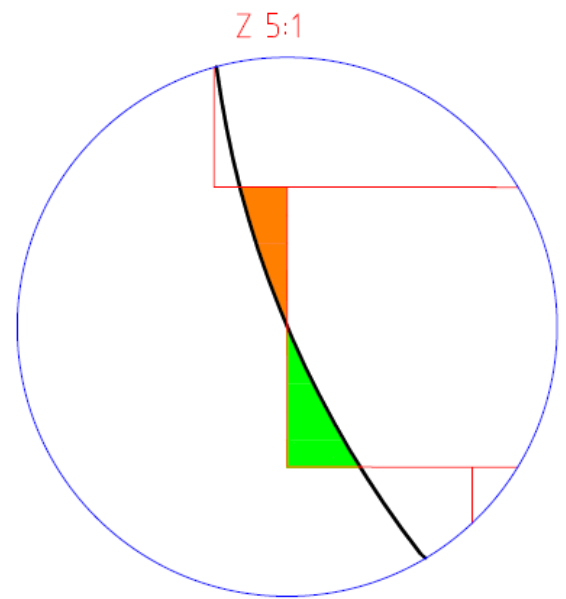
Hlavní myšlenkou této metody, která je popsána v [3], je rozdělení zkoumané drážky na  $n$  dílčích drážek obdélníkového průřezu, pro které jsou následně určeny jejich odpor a magnetická vodivost. Výsledné hodnoty jsou uspořádány do impedanční matice. Aplikací Ohmova zákona lze snadno vypočítat celkový proud procházející tyčí a tím i celkový odpor a celkovou reaktanci celé tyče.

Touto metodou lze řešit drážku rotorové tyče libovolného tvaru, dokonce i drážku s proměnnou materiálovou rezistivitou. Díky těmto poznatkům, můžeme říct, že tato metoda je mnohem univerzálněji použitelná než metoda předcházející a proto byla použita i při výpočtech odporu a reaktance rotorové tyče ve skriptu, který je součástí této práce.

Rozdělení drážky na  $n$  dílčích obdélníkových drážek navzájem od sebe izolovaných, tak jako je naznačeno na *Obr. 1.6* vnáší do výpočtu určitou chybu. Tato chyba je způsobena tím, že elementární obdélníková drážka nekopíruje přesně daný tvar drážky a proto při výpočtu můžeme zjistit, že suma obsahu průřezů všech elementárních tyčí nemusí odpovídat obsahu průřezů drážky původní. K minimalizaci této chyby nám dopomůže správná volba šířky elementární vrstvy, tak jak je to naznačeno na *Obr. 1.7*. Ačkoli se oranžová a zelená plocha zdají být stejné, není tomu tak. Proto je třeba volit výšku elementární vrstvy co nejmenší, aby se tento rozdíl minimalizoval a tím se chyba vykompenzovala. Můžeme tvrdit, že při počtu elementárních drážek jdoucích do nekonečna, budou oba obsahy průřezu stejné. Jelikož v dnešní době výpočetní technika už má dostatečný výkon, lze při návrhu volit velký počet elementárních vrstev a tak dosáhnout požadované přesnosti. V [1] se můžeme dočíst, že už rozdělení na 20 elementárních vrstev zajistí přesnost výpočtů stejnou jako při analytickém řešení.

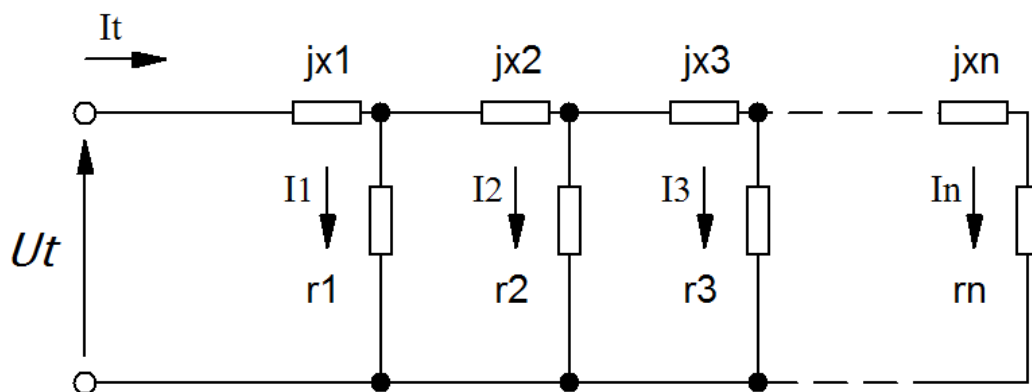


**Obrázek 1.7 - Rozdělení rotorové tyče na n dílčích obdélníkových**  
Zdroj: Vlastní zpracování podle [3]



**Obrázek 1.6 - Detail elementární vrstvy**  
Zdroj: Vlastní zpracování

Pro účely výpočtu můžeme vytvořit NS, které interpretuje rozdělení rotorové tyče na n elementárních vrstev. Toto NS může vypadat následujícím způsobem.



**Obrázek 1.8 - NS pro výpočet odporu a reaktancí elementárních vrstev**  
Zdroj: Vlastní zpracování podle [3]

Dále je třeba zohlednit následující dva předpoklady:

- Pole drážky je plošně rovnoměrné
- Hustota proudu podél indukční čáry se nemění

Při dostatečně malé výšce vrstvy tyto předpoklady splněny jsou, a proto můžeme přistoupit k výpočtu odporu 1.12 a reaktance 1.13 elementární vrstvy  $i$  na jednotku délky.

$$r_i = \frac{\rho_t}{S_i} \quad 1.12$$

Kde:

$r_i$ – odpor  $i$ -té vrstvy [ $\Omega \cdot m^{-1}$ ]

$\rho_t$ – měrný elektrický odpor [ $\Omega \cdot m$ ]

$S_i$ – průřez  $i$ -té vrstvy [ $m^2$ ]

$$x_i = \omega_2 \mu_0 \lambda_i \quad 1.13$$

Kde:

$x_i$ – reaktance  $i$ -té vrstvy [ $\Omega \cdot m^{-1}$ ]

$\omega_2$ – uhlová rychlost [ $rad \cdot s^{-1}$ ]

$\mu_0$ – permeabilita vakua [ $H \cdot m^{-1}$ ]

$\lambda_i$  značí geometrickou vodivost magnetické trubice, V našem případě počítaná jako poměr šířky  $i$ -té vrstvy k její délce.

Pro výpočet odporu tyče, s uvažováním povrchového jevu a činitele magnetické vodivosti části drážky, je zapotřebí spočítat proudy v jednotlivých elementárních vrstvách. Nejsnazší je vytvořit matici, 1.15, ze soustavy rovnic, 1.14. Pokud položíme  $I_n=1$ , bude možno najít zbývající proudy v poměrných jednotkách a tím získat celkový proud tyče.

$$\begin{aligned}
 jx_1 \bar{I}_1 + \left( r_2 + j \sum_1^2 x_i \right) \bar{I}_2 + j \sum_1^2 x_i \bar{I}_3 + \dots + j \sum_1^2 x_i \bar{I}_n &= \bar{U}_t \\
 jx_1 \bar{I}_1 + j \sum_1^2 x_i \bar{I}_2 + j \sum_1^3 x_i \bar{I}_3 + \dots + \left( r_n + j \sum_1^n x_i \right) \bar{I}_n &= \bar{U}_t \\
 \bar{I}_1 + \bar{I}_2 + \bar{I}_3 + \dots + \bar{I}_n &= \bar{I}_t
 \end{aligned} \tag{1.14}$$

$$\begin{bmatrix} r_1 + jx_1 & jx_1 & jx_1 & jx_1 & \dots & jx_1 \\ jx_1 & r_2 + j \sum_1^2 x_i & j \sum_1^2 x_i & j \sum_1^2 x_i & \dots & j \sum_1^2 x_i \\ jx_1 & j \sum_1^2 x_i & r_3 + j \sum_1^3 x_i & j \sum_1^3 x_i & \dots & j \sum_1^3 x_i \\ \dots & \dots & \dots & \dots & \dots & \dots \\ jx_1 & j \sum_1^2 x_i & j \sum_1^3 x_i & j \sum_1^4 x_i & \dots & r_n + j \sum_1^n x_i \end{bmatrix} \cdot \begin{bmatrix} \bar{I}_1 \\ \bar{I}_2 \\ \bar{I}_3 \\ \dots \\ \bar{I}_n \end{bmatrix} = \begin{bmatrix} \bar{U}_t \\ \bar{U}_t \\ \bar{U}_t \\ \dots \\ \bar{U}_t \end{bmatrix}$$

1.15

Po vypočtení jednotlivých proudů elementárních vrstev, je možno spočítat dle rovnice 1.16 celkový proud tyče.

$$\bar{I}_t = \sum_1^n \bar{I}_i \tag{1.16}$$

Nyní jsou známy všechny veličiny potřebné k výpočtu odporu tyče rotoru s uvažováním povrchového jevu, 1.17. Ten je třeba k určení činitele zvětšení odporu tyče, 1.18.

$$r_{t\xi} = \frac{\sum_{i=1}^n (r_i I_i^2)}{I_t^2} \tag{1.17}$$

$$k_r = \frac{\sum_{i=1}^n (r_i I_i^2)}{r_t I_t^2} \tag{1.18}$$

Obdobným způsobem vypočítáme i činitel magnetické vodivosti části drážky s uvažováním povrchového jevu.

$$\lambda'_{d2\xi} = \frac{\sum_{i=1}^n (\lambda_i |\sum_{k=n}^n I_k|^2)}{I_t^2} \tag{1.19}$$

Pro potřebu výpočtu činitele zmenšení magnetické vodivosti, je nutné spočítat i činitel magnetické vodivosti části drážky, bez uvažování povrchového jevu. Vzhledem k tomu, že zde popisovaná metoda má být univerzálně použitelná, musíme uvažovat

i případy, kdy se vodivosti jednotlivých elementárních vrstev mohou lišit. Hlavní předpoklad, kdy toto může nastat, je použití dvojité klece nakrátko, kde běhová klec, umístěná blíže ke středu rotoru, může být z jiného materiálu než klec rozběhová. U takovýchto případů je nutné uvažovat, že se jedná o jednu složitou drážku.

$$\lambda'_{d2} = \frac{\sum_{i=1}^n [\lambda_i (\sum_{k=n}^i \frac{1}{\Gamma_k})^2]}{(\sum_{i=1}^n \frac{1}{\Gamma_i})^2} \quad 1.20$$

Činitel zmenšení magnetické vodivosti se vypočítá podílem magnetické vodivosti části drážky s uvažováním povrchového jevu ku magnetické vodivosti bez tohoto jevu.

$$k_x = \frac{\lambda'_{d2\xi}}{\lambda'_{d2}} \quad 1.21$$

Z výpočtu 1.13 si můžeme všimnout, že při výpočtu činitelů  $k_r$  a  $k_x$  má velkou roli rotorová frekvence potažmo skluz. Z toho plyne, že hodnoty  $k_r$  a  $k_x$  se musí počítat pro každou frekvenci zvlášť. To je důvodem, který prakticky nutí uživatele k využití výpočetní techniky.

## 2 MATLAB

Název počítavého programu MATLAB je složeninou z anglických slov *Matrix*, neboli matice, a *Laboratory*, neboli laboratoř. Jedná se o programové prostředí předně určené pro vědecké a technické výpočty. Jak už název napovídá, základní filozofií programu MATLAB, je práce s maticemi, což výrazně usnadňuje práci ve srovnání s jinými programovacími jazyky jako je C, C++ nebo Java. Programovací jazyk MATLAB umožňuje uživateli kvalitně zpracovat data, zobrazit je a navíc poskytuje nástroje pro měření v reálném čase, práci s matematikou, grafikou, přenosem dat a zpracování obrázků a videí.

Program MATLAB se skládá z těchto pěti částí:

- Výpočetní jádro
- Grafický subsystém
- Otevřená architektura
- Pracovní nástroje
- Toolboxy

### 2.1.1 Výpočetní jádro

Jak již bylo uvedeno, výpočetní jádro pracuje s maticemi, a to jak s maticemi reálných čísel, tak i s maticemi čísel komplexních. Mimo to umožňuje i běžné matematické operace jako je sčítání a odečítání, násobení a dělení a tak pod. Nabízí také nepřeberné množství funkcí pro práci s vektory a polynomy.

### 2.1.2 Grafický subsystém

Grafický subsystém dovoluje prezentovat získané výsledky v mnoha podobách jako například 2D a 3D grafy, histogramy, koláčové grafy atd. Navíc tento subsystém nabízí i tvorbu grafických objektů jako jsou tlačítka, posuvníky, rozbalovací menu, což je základním předpokladem využití MATLABU pro tvorbu vlastních grafických aplikací.

### 2.1.3 Otevřená architektura

Tato část MATLABU zaručuje neomezenou rozšiřitelnost programu. Uživatel si sám může naprogramovat funkce, které potřebuje a uložit je do souboru pro pozdější použití. Takto získané funkce se nijak neliší od funkcí vestavěných.



### 2.1.4 Pracovní nástroje

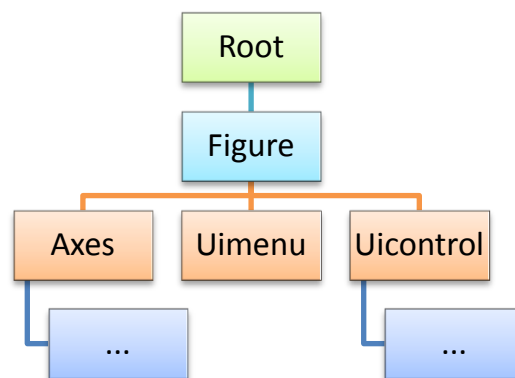
Mezi hlavní pracovní nástroje patří prohlížeč adresářů a souborů, okno historie příkazu, spouštěč aplikací, editor, debugger, příkazové okno a další. Všechny tyto části jsou do prostředí MATLAB Desktop plně integrovány a lze je uspořádat podle svého uvážení.

### 2.1.5 Toolboxy

Jsou to knihovny funkcí, které lze do MATLABU integrovat a které zajišťují jeho rozšiřitelnost pro daný vědní nebo technický obor. *Toolboxy* mimo potřebné funkce obsahují také detailní a přesnou dokumentaci.

## 2.2 Handles

Systém *Handles graphic* je součástí programu MATLAB. Je určen k efektivnímu využití grafických objektů, které jsou v tomto systému obsažené. K pochopení práce s *handles* je nezbytně nutné znát hierarchii grafických objektů, jak je vidět na *Obr 2.1*, a jejich dědičnost, podobně jako u objektově orientovaného programování. Každý objekt má proto svoje unikátní *handles*.



**Obrázek 2.1 - Hierarchie grafických objektů**

Zdroj: Vlastní zpracování podle [6]

### 2.2.1 Dědičnost

U objektově orientovaného programování jsou objekty organizovány stromovým způsobem. Toto uspořádání umožňuje tzv. dědit vlastnosti z jednoho z druhů objektů do jiného a pouze přidat další své vlastní rozšíření. Objekt, který dědí vlastnosti se nazývá *dítě* (z angl. Child) a objekt, který své vlastnosti předává, se nazývá *rodič* (z angl. Parent).

Takto uspořádaný způsob programování nám usnadní práci v momentě, kdy např. chceme změnit font textu. Stačí nám změnit font pouze u objektu, který je *rodičem* a změna se projeví ve všech objektech, které jsou na něj vázány.

### 2.2.2 Root

*Root* je grafický objekt, který koresponduje s obrazovkou. Objekt *Root* je pouze jeden a nemá žádné tzv. *rodiče*. Je základním stavebním kamenem při práci s grafickými objekty. Tento objekt existuje již při spuštění MATLABU, proto ho nemusíme nikdy vytvářet a zároveň ho nelze odstranit. Pro práci s objektem *Root* můžeme využít dvou příkazů a to: *getappdata(0, X)* pro získání vlastnosti *X* a příkazu *setappdata(0, X, Y)* pro její nastavení.

Při vytváření grafické aplikace si mnohdy nevystačíme pouze s jedinou *Figure*. Proto je nutné zajistit předávání informací z *Figure 1* do *Figure 2* a to lze zajistit prakticky pouze přes *Root*.

### 2.2.3 Figure

*Figure* je grafický objekt v podobě okna, ve kterém je možné umístit všechny grafické objekty, které jsou potřebné pro správu funkcí grafické aplikace. Samozřejmě také je, že do okna *Figure* lze umístit různé grafické výstupy jako je prostý text, grafy, obrázky atd.

Příkaz *figure* vytvoří nový objekt typu *Figure* za použití základních nastavení. Tento objekt se zároveň přesune nad všechna ostatní okna a jeho *handles* se umístí do proměnné *gcf*, tj. proměnné, která je pro *handles* aktivního objektu přímo rezervovaná.

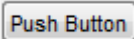

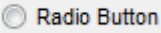
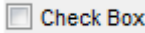
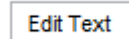
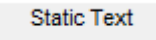
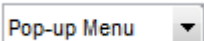
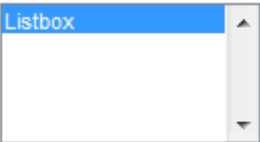
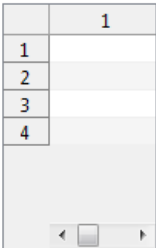

### 2.2.4 Axes

*Axes* je grafický objekt určený pro zobrazování grafických objektů jako jsou například grafy, čáry, obrázky atd. K zobrazení požadovaného grafu je nutné nejdříve určit v jakém objektu typu *Axes* se požadovaný výstup má zobrazovat. To se určí jednoduše pomocí *handles*. Jako příklad lze uvést zobrazení obrázku ze souboru.

```
axes(handles.axes1)
imshow('Obrazek.png')
```

### 2.2.5 Uicontrol

Prvky typu *Uicontrol* (pozn. User Interface Control) jsou základní grafické prvky pro ovládní grafického rozhraní aplikace. V tabulce níže je konkrétní přehled těchto prvků.

Název prvku	Funkce	Náhled
Push Button	Tlačítko	
Slider	Posuvník	
Radio Button	Výběrové pole	
Check Box	Zaškrťovací pole	
Edit Text	Pole pro editaci textu	
Static Text	Zobrazení textu	
Pop-up Menu	Rozbalovací nabídka	
Listbox	Nabídka	
Table	Tabulka	
Frame	Rámeček	

**Tabulka 1 - Přehled prvků Uicontrol**

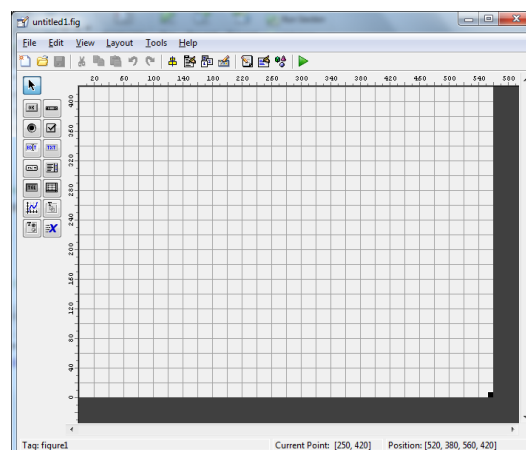
Zdroj: Vlastní zpracování

## 2.2.6 GUIDE

V dnešní době je většina aplikací vytvářena ve formě grafických uživatelských rozhraní. Tyto aplikace tedy obsahují grafické ovládací prvky, které jsou popsány výše. Tyto prvky jsou jedinou vazbou mezi programem a uživatelem. Z tohoto důvodu by měly být v GUI (pozn. Grafické uživatelské rozhraní, z angl. Graphical User Interface) prvky uspořádány přehledně a zároveň intuitivně.

Při tvorbě GUI lze postupovat dvěma způsoby. První je více časově náročný a na programátorovi je vyžadována znalost každého grafického objektu do detailu. Princip prvního způsobu spočívá v tom, že se musí každý prvek naprogramovat samostatně včetně jeho vlastností pomocí příkazů *set*. Takto získaný kód je přehledný a lze ho spustit jednoduchým zkopírováním do editoru. Druhou metodou je využití nástroje GUIDE (pozn. Graphical User Interface Development Environment), který je implementován do MATLABU. Vytvoření aplikace pomocí GUIDE je založeno na jednoduchém *Drag&Drop* přetahování Uicontrol objektů z nabídky do okna *Figure*. Tento nástroj sám vytvoří zdrojový kód potřebný ke spuštění aplikace a vytvoření všech grafických objektů. Takto získaný kód není úplně optimální, jelikož obsahuje množství nepotřebných částí. Automaticky vygenerovaný kód je uložen v souboru *Nazev\_souboru.fig*. Zároveň se souborem *Nazev\_souboru.fig* se vytváří i soubor *Nazev\_souboru.m*, do kterého se zapisují funkce aplikace. Výhodou této metody je menší časová náročnost a větší přehlednost při tvorbě grafického rozhraní. Na druhou stranu, aby aplikace fungovala i na jiném počítači, musí být k dispozici zmiňované soubory *Nazev\_souboru.fig* a *Nazev\_souboru.m*.

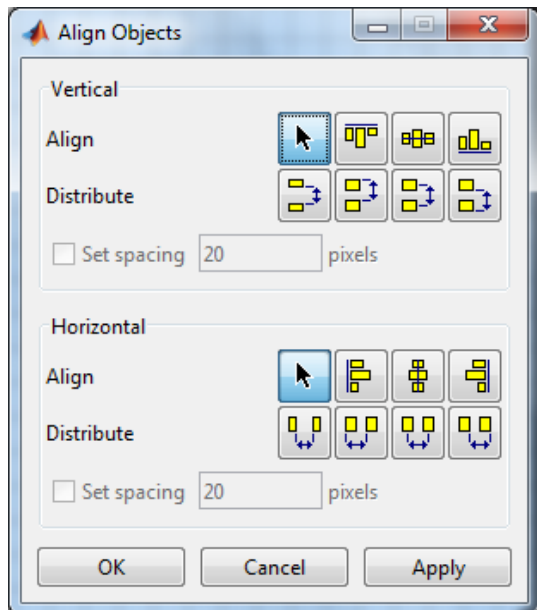
Na Obr. 2. 2 je vyobrazeno okno editoru GUIDE, které se objeví po zadání příkazu *guide* do příkazového řádku.



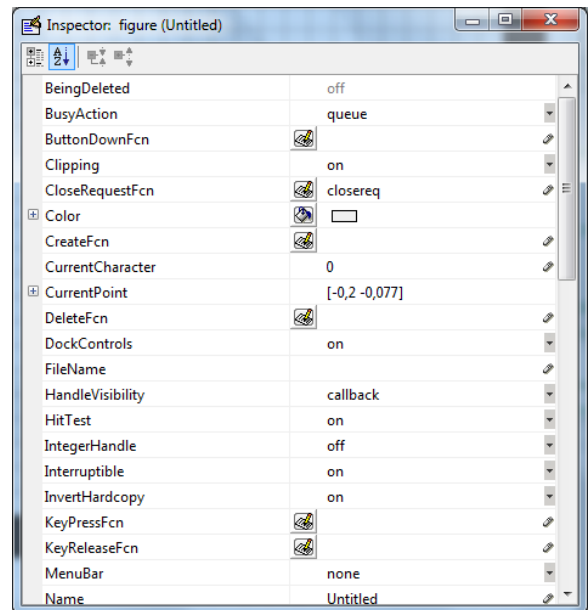
**Obrázek 2.2 - Prostředí editoru GUIDE**

Zdroj: [6]

Pro efektivní práci s grafickými objekty v editoru GUIDE, jsou k dispozici dva nástroje a to nástroj *Align Objects* Obr. 2.3 a nástroj *Property Inspector* Obr. 2.4



**Obrázek 2.3** Nástroj *Align Objects*  
Zdroj:[6]



**Obrázek 2.4** Nástroj *Property Inspector*  
Zdroj:[6]

Při tvorbě grafického rozhraní je nutné dbát i na vzhled, proto je třeba dbát i na zarovnání všech objektů. K tomu slouží nástroj *Align Objects*, který umožňuje po vybrání referenčního objektu, zarovnat zbylé objekty. Zarovnání je možné provést jak ve vertikální ose tak i v horizontální. Tento nástroj nabízí zarovnání nejen vlevo, vpravo nebo na střed, ale taky zarovnání s určitým rozstupem, kde si můžeme vybrat i osy mezi rozestupy.

Nástroj *Property Inspector* umožňuje nastavení vlastností daného objektu. Všechny vlastnosti jsou zde seřazeny do přehledné tabulky, kde si můžeme jednoduše změnit barvu pozadí, font a velikost písma atd. Mimo to, v této tabulce najdeme i vlastnost *Tag*. Tato vlastnost určuje *handles* daného objektu. *Tag* daného objektu se vygeneruje automaticky s pořadovým číslem při vytvoření. Pro lepší přehlednost si jej můžeme libovolně změnit, musíme ale mít na paměti, že musí být unikátní. Pozdější změna této vlastnosti není doporučována.

### 2.2.7 Zpětnovazební funkce Callback

Po vytvoření návrhu grafického rozhraní zjistíme, že ovládací prvky neplní žádnou funkci. Z tohoto důvodu je nutné pro dané objekty vytvořit zpětnovazební funkci *Callback*. Z názvu funkce je vidět, že jsou tyto funkce volány, až momentě kdy uživatel provede akci. Jaké akce se provedou po zavolání těchto funkcí, určuje programátor zápisem příkazů do daných funkcí. Ty jsou uloženy v souboru *Nazev\_souboru.m*. *Callback* funkce se nijak neliší od funkcí klasických, i když jsou tyto funkce generované automaticky editorem GUIDE. V případě potřeby vytvoření další zpětnovazební funkce pro daný objekt, ji lze dodatečně vygenerovat pomocí kontextové nabídky *View Callbacks*.

V následujícím seznamu jsou popsány všechny zpětnovazební funkce.

Název funkce	Popis funkce
CreateFcn	Funkce je volána při startu aplikace
DeleteFcn	Funkce je volána při smazání okna
CloseRequestFcn	Funkce je volána před zavřením aplikace
KeyPressFcn	Funkce je volána při stisku tlačítka, pokud je kurzor v okně aplikace
ResizeFcn	Funkce je volána při změně velikostí okna
WindowButtonDownFcn	Funkce je volána při kliknutí myši na neaktivní prvky např. obrázek
WindowButtonMotionFcn	Funkce je volána pohybu myši s držením tlačítka myši
WindowButtonUpFcn	Funkce je volána při uvolnění tlačítka myši nad neaktivním prvkem např. obrázkem

Tabulka 2 - Seznám zpětnovazebních funkcí

Zdroj: [6]

## 3 Aplikace pro výpočet rozběhových charakteristik

### 3.1 Vlastní návrh aplikace

Úkolem aplikace je simulování rozběhových charakteristik asynchronního stroje. Uživatel si bude moci zobrazit průběh momentu, výkonu, proudů a účinníku. Zároveň uživateli bude umožněno zadat tvar drážky rotorové tyče pro výpočet činitelů  $k_r$  a  $k_x$ .

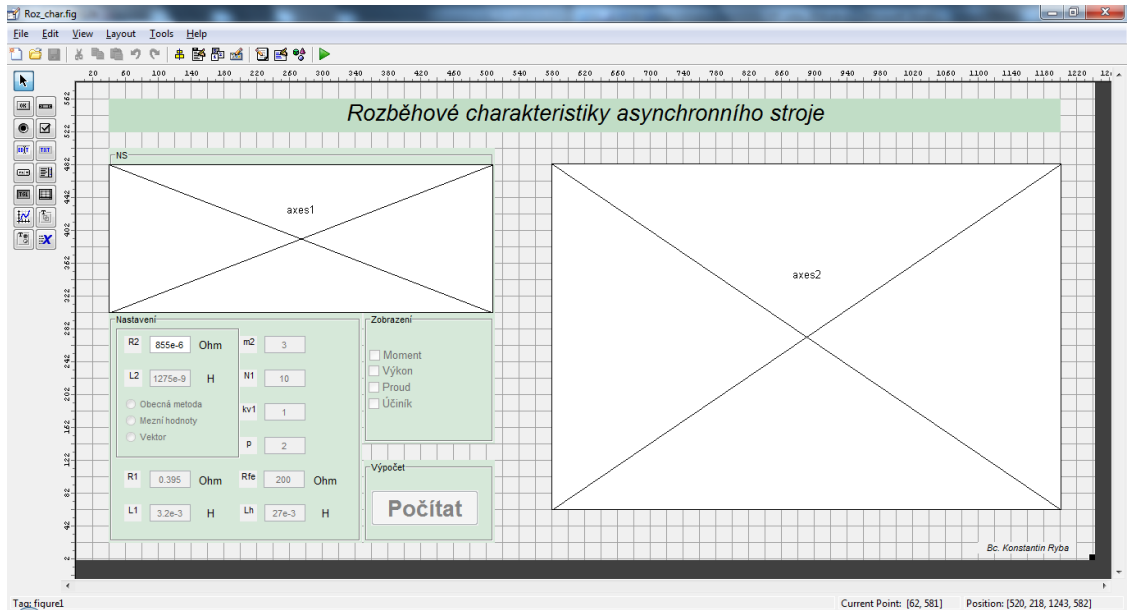
Po stanovení cíle je vhodné si rozmyslet vzhled aplikace. Je zapotřebí si uvědomit potřebný počet ovládacích, zobrazovacích a sdělovacích prvků. Před samotnou tvorbou aplikace byly připraveny i potřebné soubory, v našem případě se jedná především o obrázek náhradního schéma asynchronního stroje.

V editoru GUIDE byly rozmístěny grafické objekty a zároveň uspořádány do logických celků pomocí panelů. Celkově v aplikaci lze nalézt tři panely, a to panel s objekty potřebnými pro zadání základních parametrů náhradního schéma, panel s volbou zobrazení požadované charakteristiky a panel výpočet. Mimo jiné se v aplikaci nalézají objekty typu *axes*, které jsou určeny pro zobrazení náhradního schéma a zobrazení rozběhových charakteristik.

Jelikož aplikace obsahuje i tři metody zadávání rotorových prvků, bylo nutné vytvořit i volbu metody pomocí *radio button*. Volba zobrazení požadované charakteristiky je realizována pomocí čtyř objektů typu *check button*. Pomocí již dříve popsaného nástroje *Align Objects*, byly všechny prvky zarovnaný.

Když už jsou prvky na svých místech, použitím nástroje *Property Inspector*, se změní vlastnosti těchto prvků. Konkrétně se jednalo o změny barvy pozadí, změny velikostí a stylů textů, nastavení počátečních hodnot a v neposlední řadě také změny vlastností *Enable*, kde všechny prvky byly nastaveny na hodnotu *off*. Toto opatření bylo zavedeno, jak si dále ukážeme, z důvodu usnadnění orientace v aplikaci a hlavně, aby byl jednoznačně určen postup při zadávání hodnot.

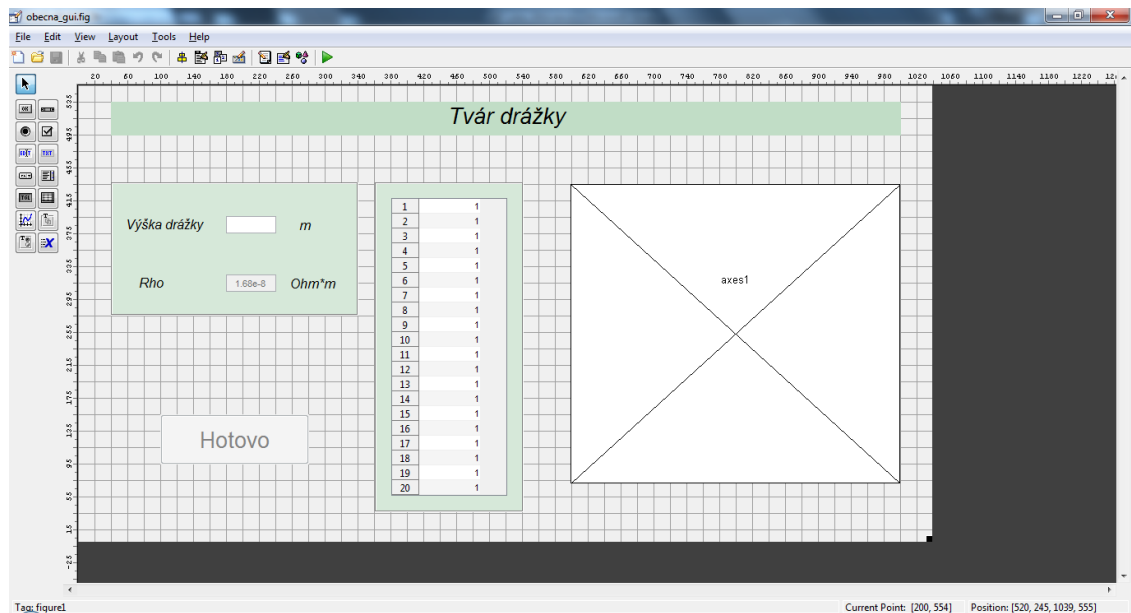
Na obrázku Obr. 3.1 je snímek obrazovky po provedení popsaných změn. Zároveň toto grafické okno bylo uloženo pod názvem *Roz\_char.fig*.



**Obrázek 3.1 - Náhled navrhnutého grafického rozhraní**

Zdroj: Vlastní zpracování

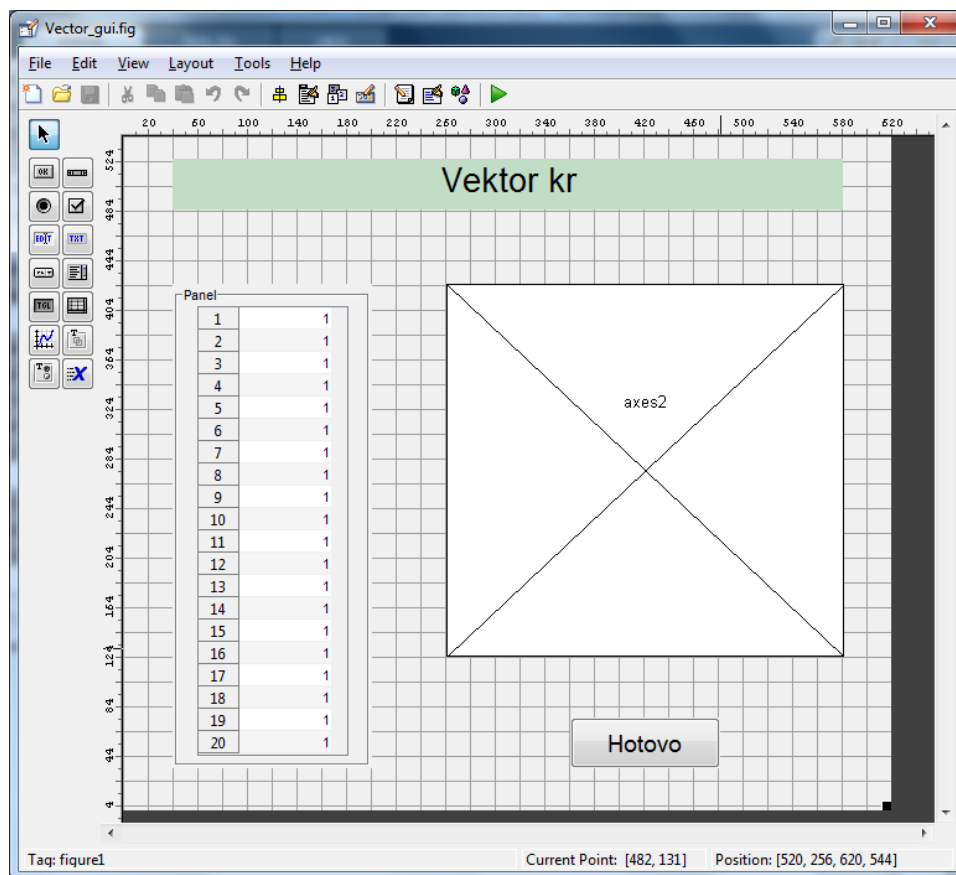
Pro potřebu zadávání tvaru drážky bylo vytvořeno další grafické okno pod názvem *obecna\_gui.fig* Obr. 3.2. Taktéž bylo vytvořeno grafické rozhraní *Vector\_gui.fig* Obr. 3.3, pro potřebu zadávání vektoru  $k_r$ . Tyto dvě *Figures* byly vytvořeny stejným způsobem, jako je popsáno výše.



**Obrázek 3.2 - Náhled rozhraní obecna\_gui**

Zdroj: Vlastní zpracování



Obrázek 3.3 - Náhled rozhraní `Vector_gui`

Zdroj: Vlastní zpracování

Jelikož všechna tři okna jsou navzájem nezávislá, bylo zapotřebí vyřešit předávání dat mezi nimi. K tomuto účelu bylo využito objektu typu *root*, kde pomocí zpětnovazebních funkcí byla data ukládána. Následně tato data byla načítaná v případě potřeby. Nevýhodou tohoto řešení je poměrná nepřehlednost, jelikož takto uložená data se nezobrazují v seznamu *Workspace*. Bylo třeba klást důraz na pojmenování vlastností, které byly vytvářeny v *handles root*. Zároveň při vývoji aplikace byly tyto *handles* evidovány v externím seznamu.

Další nepříjemností s použitím tohoto způsobu předávání dat je fakt, že MATLAB nečeká, než se volaná funkce splní a rovnou pokračuje dle zadaného programu dále. Tento problém byl vyřešen pomocí příkazů *uiwait(x)* a *uiresume(gcf)*. Příkaz *uiwait* se vloží do funkce, která volá další funkci a způsobí, že program se zastaví a čeká, dokud nepřijde příkaz *uiresume*, který byl vložen do volané funkce. Tato metoda byla využita, k získání dat z rozhraní *Vector\_gui* a *obecna\_gui*, pro případ že uživatel chce zadat tvar drážky nebo vektor sám.

Protože je uživateli umožněno si vybrat metodu zadávání parametrů, byla vytvořena funkce *jeden\_vyber*. Kód této funkce je uveden níže. Úkolem této funkce je zajistit, že si uživatel vybral pouze jednu metodu zadávání parametrů. Zároveň byla tato funkce použita i k zamezení více výběrů pro zobrazení. Tato funkce je volána při změně vlastnosti *Value* jednoho z uvedených prvků. Jako vstupní proměna *off* se zadává *handles* zbylých objektů, kterým se tato vlastnost změní automaticky na hodnotu *0*.

```
function jeden_vyber (off)
set (off, 'Value', 0)
```

Obdobou k funkci *jeden\_vyber* je funkce *odblokovat*. Tato funkce má za úkol aktivovat objekt, jehož *handles* je uloženo v proměnné *off*. Touto cestou je řešené postupné aktivování všech objektů, jelikož byly implicitně nastaveny jako inaktivní.

```
function odblokovat (off)
set (off, 'Enable', 'on')
```

K zadávání vektoru změny rotorového odporu v *Figure Vector\_gui*, byl využit objekt typu *uitable* o velikosti 20x1. Tato velikost byla zvolena jako kompromis mezi počtem zadaných hodnot a časovou náročností zadávání. Uživatel si zde může zadat jakákoliv bezrozměrná čísla a upravovat je tak, aby výsledný průběh odpovídal jeho představě. Aby tato čísla byla poměrná, je každé z daných čísel vyděleno minimální hodnotou obsaženou v této tabulce. Po přepočítání těchto čísel je automaticky vykreslován průběh  $k_r$  v závislosti na skluzu.

Pro pozdější výpočet bylo třeba upravit zadané hodnoty z tabulky interpolací. Tato úprava byla nutná kvůli zachování stejných velikostí vektorů. Program MATLAB obsahuje funkci *spline*, která byla použita k interpolaci. Jedná se o přibližný výpočet hodnot ležících v určitém intervalu, které se počítají na základě hodnot v krajích tohoto intervalu.

Pro ucelený náhled na vektor  $k_r$  je do objektu typu *axes* vykreslován průběh jak zadaných hodnot ve formě bodu, tak i průběh po interpolaci. Po stisku tlačítka HOTOVO dojde k uložení upravených hodnot do *root* a zavolání příkazu *uiresume*, který způsobí opětovný rozběh programu, tak jak už bylo výše popsáno.

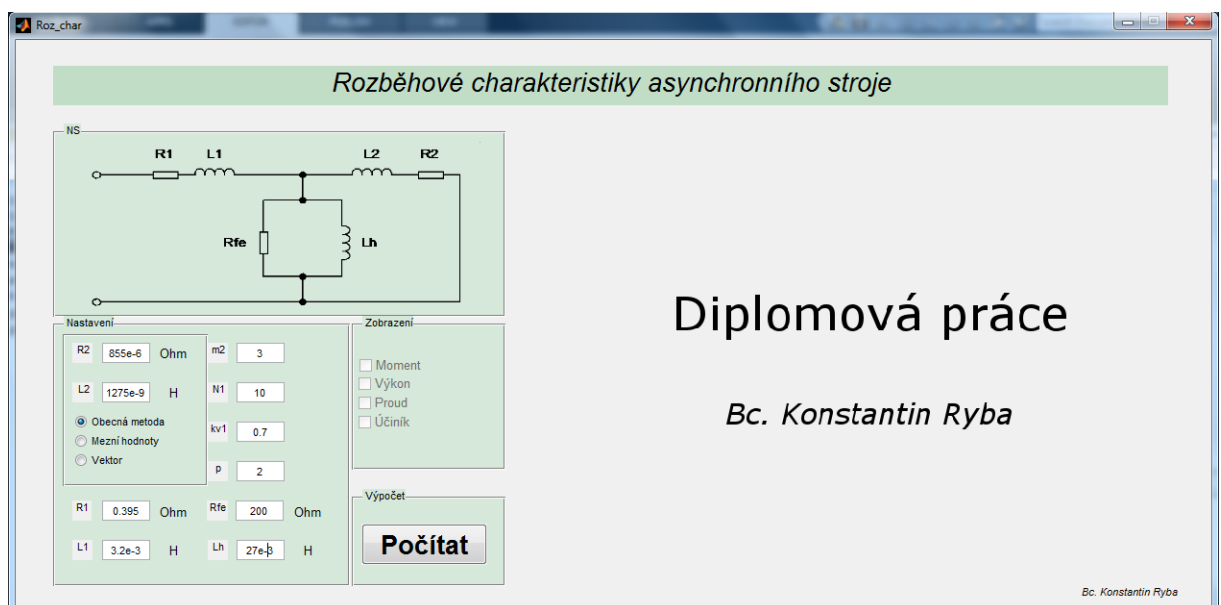
V *Figure obecná\_gui* je zadávání rozměrů drážky provedeno obdobným způsobem. Výška drážky se zadává v metrech do objektu *edit text* a šířka v milimetrech do objektu typu *uitable* o velikosti 20x1. Po potvrzení změny hodnoty buňky dochází k přepočtení hodnot na metry a zároveň k vykreslení v podobě grafu.

Vykreslení je řešeno dělbou šířky jednotlivé elementární obdélníkové drážky dvěma. Takto upravená šířka se vykresluje dvěma grafy v jednom okně, kde jeden je násoben  $-1$ . Jelikož tyto dva grafy jsou souměrné podél osy Y, lze tímto způsobem vykreslit pouze souměrné drážky.

Obě tyto *Figures* si uchovávají zadané hodnoty pro pozdější editaci. Tato vlastnost je zajištěna načtením uložených hodnot v *Root* při spuštění. Při prvním spuštění se načítají základní data, která byla zadána v GUIDE editoru.

## 3.2 Použití aplikace

V následující kapitole je popsán postup použití aplikace v praxi. Po spuštění programu MATLAB vybere uživatel soubor *Roz\_char.m* a spustí tento skript tlačítkem *Run*. Otevře se okno s grafickým rozhraním, *Obr. 3.4*. V tuto chvíli jsou všechny objekty inaktivní a postupným zadáním hodnot se aktivují. Není tedy možné spustit tlačítko *Počítat*, dokud nebudou vyplněny všechny požadované hodnoty a vybrána metoda výpočtu. Toto řešení bylo zvoleno kvůli robustnosti aplikace. Výběr možností zobrazení dat se aktivuje až po výpočtu.

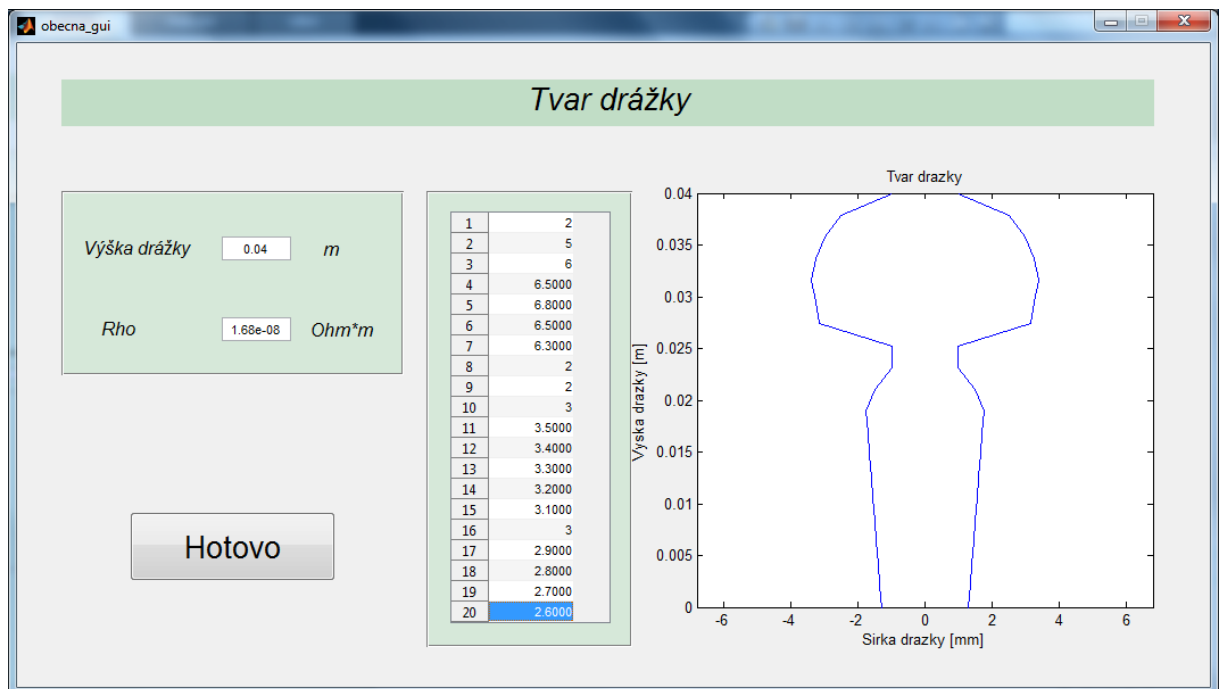


**Obrázek 3.4 - Grafické rozhraní aplikace**

Zdroj: Vlastní zpracování

Po stisknutí tlačítka *Počítat*, pokud byla vybrána obecná metoda výpočtu nebo vektor, se spustí příslušné grafické okno. V případě výběru metody mezní hodnoty se tento krok vynechá a automaticky proběhne výpočet na pozadí. V tomto popisu práce s aplikací je vybrána obecná metoda výpočtu, jelikož je nejsložitější. V nově spuštěném okně, *Obr. 3.5*, je třeba zadat hodnoty a to nejprve výšku drážky a měrný elektrický odpor. Následně se aktivuje tabulka, do které se zadá dvacet hodnot šířky drážky. Jedná-li se tedy o drážku tvaru obdélníku, bude všech dvacet hodnot shodných.

V pravé části okna se pro kontrolu vykresluje průřez drážky. Po zadání všech hodnot se zaktivní tlačítko *Hotovo* a je možné potvrdit výběr.

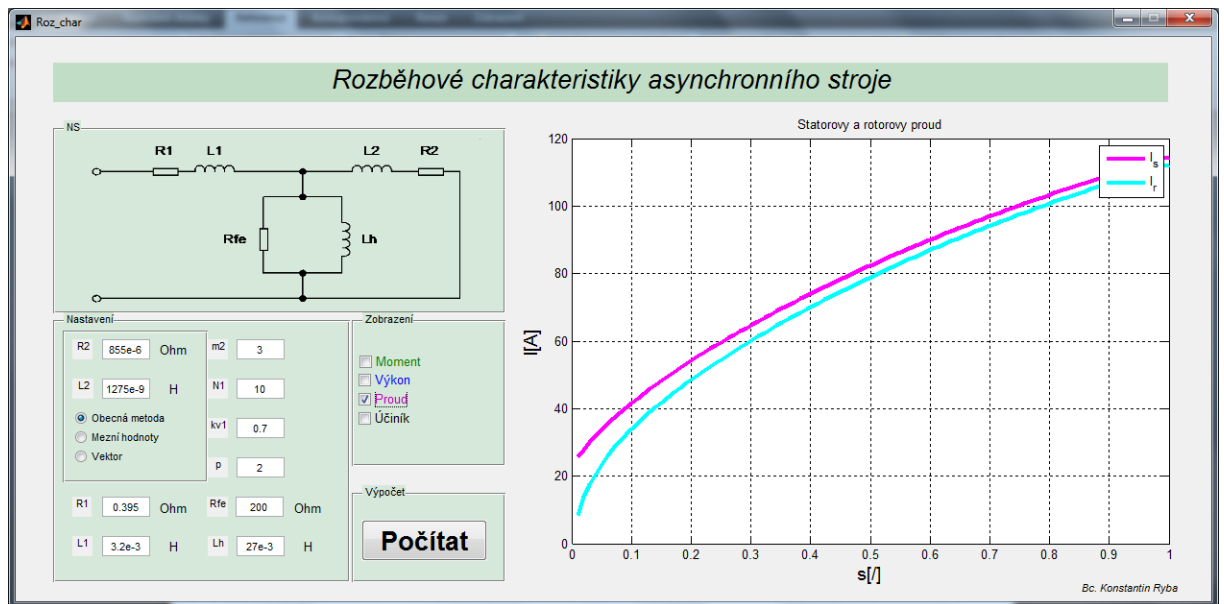


**Obrázek 3.5 - Grafické rozhraní - obecná metoda**

Zdroj: Vlastní zpracování

Po stisknutí tlačítka *Hotovo*, se toto okno zavře, uživatel se automaticky vrátí do původního okna, ale nyní už budou aktivní možnosti výběru zobrazení dat. Při výběru jednotlivých metod zobrazení se v pravé části okna automaticky vykreslí příslušné grafy, *Obr. 3.6*, tedy momentová charakteristika, výkonová charakteristika, průběhy proudů anebo průběh účinníku.

Výhodou této aplikace je fakt, že po zadání hodnot a proběhlém výpočtu je možné změnit jeden z parametrů a výpočet opakovat bez nutnosti znovu zadávání všech hodnot. To může práci poměrně urychlit.



**Obrázek 3.6 - Grafické rozhraní - průběhy proudů**

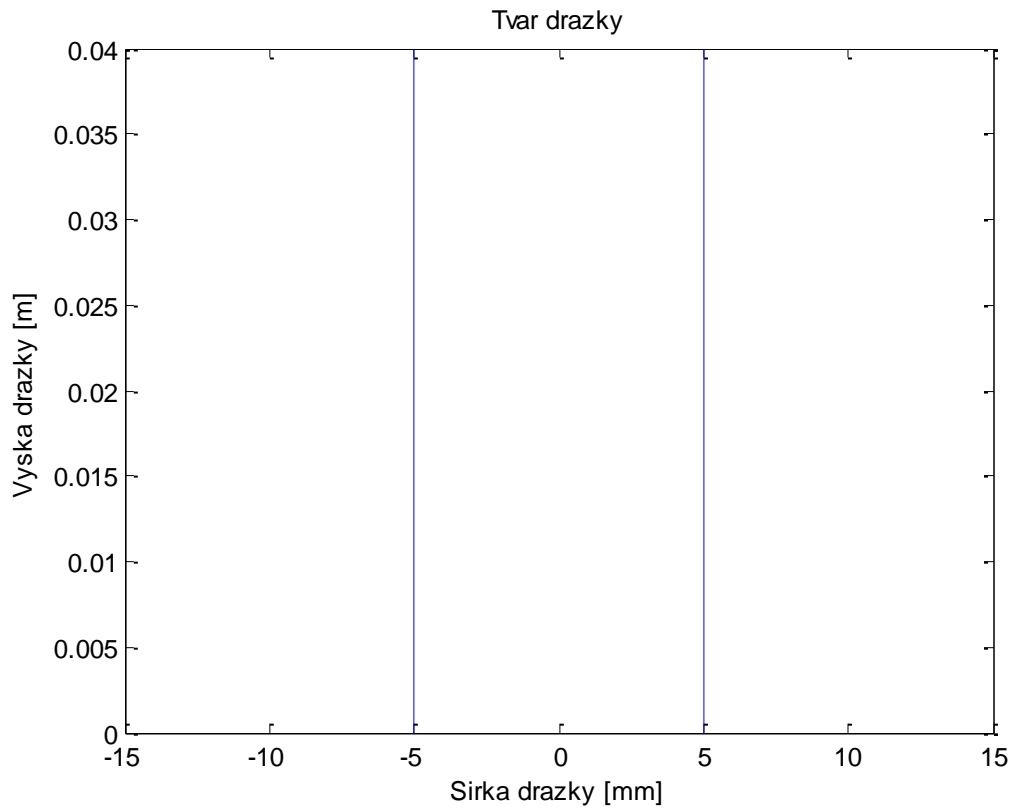
Zdroj: Vlastní zpracování.

Na závěr této kapitoly by bylo vhodné zjistit, zda opravdu má tvar drážky vliv na výkon a moment asynchronního stroje a především zda nám to pomůže zjistit vytvořená aplikace.

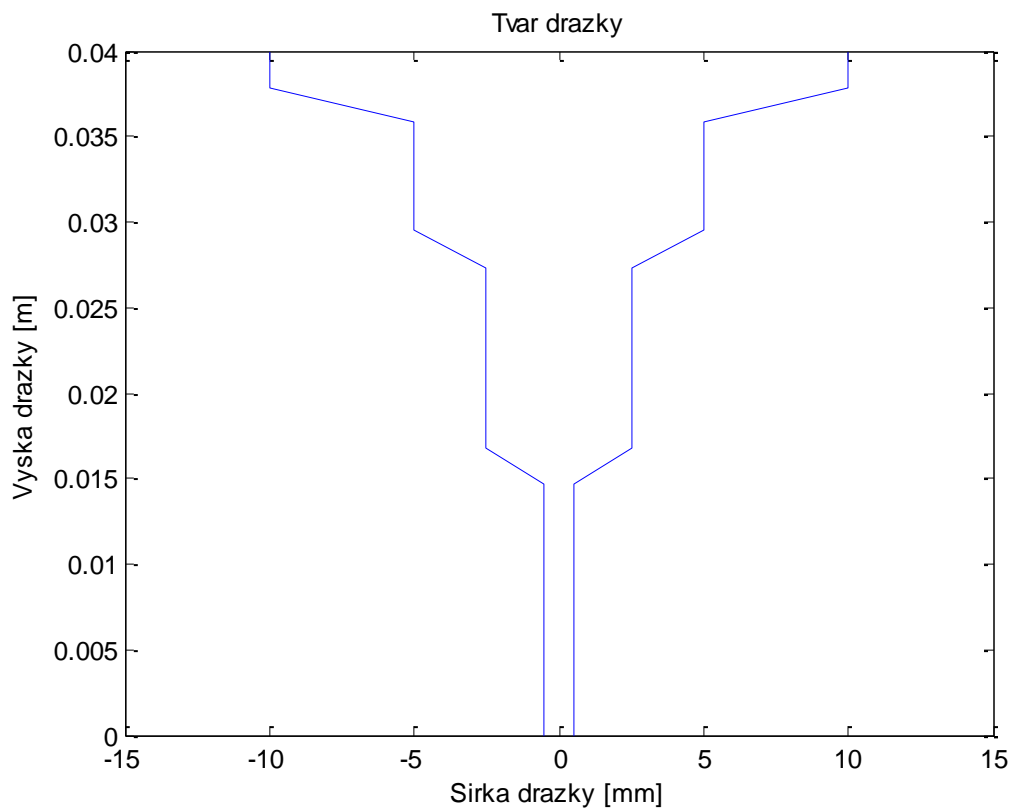
Pro porovnání použijeme dva typy drážek a to tvaru obdélníka a drážky smyšlené, kde průřez připomíná tvar trychtýře. Tato drážka se v praxi nepoužívá, ale byla vybrána pro zjištění vlivu na charakteristiky stroje. Výpočet probíhal se stejnými parametry, výška i materiál byly zachovány a měnil se pouze tvar drážky, tedy hodnoty v druhém okně aplikace.

Tvar, respektive průřez drážkami je znázorněn na obrázcích *Obr. 3.7 a Obr. 3.8*. Po výpočtech bylo možné zobrazit grafické znázornění charakteristik asynchronního stroje s použitím těchto drážek. Z obrázků *Obr. 3.9 a Obr. 3.10* je vidět vliv na tvaru drážky na momentovou charakteristiku. U obdélníkového tvaru drážky je záběrný moment větší o 70 Nm než u asynchronního motoru s drážkou druhého typu při zachování stejného maximálního momentu.

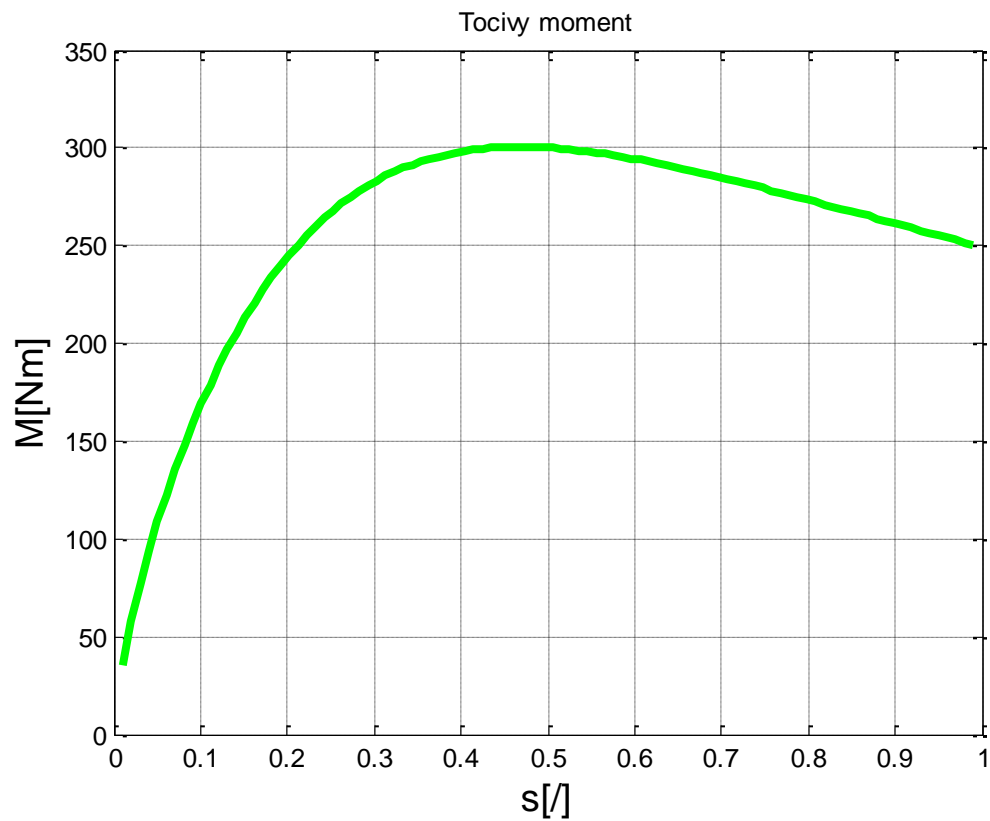
Na obrázcích *Obr. 3.11 a Obr. 3.12* je vidět i mírná změna výkonu při změně tvaru drážky.

**Obrázek 3.7 - Průřez (Obdélníková drážka)**

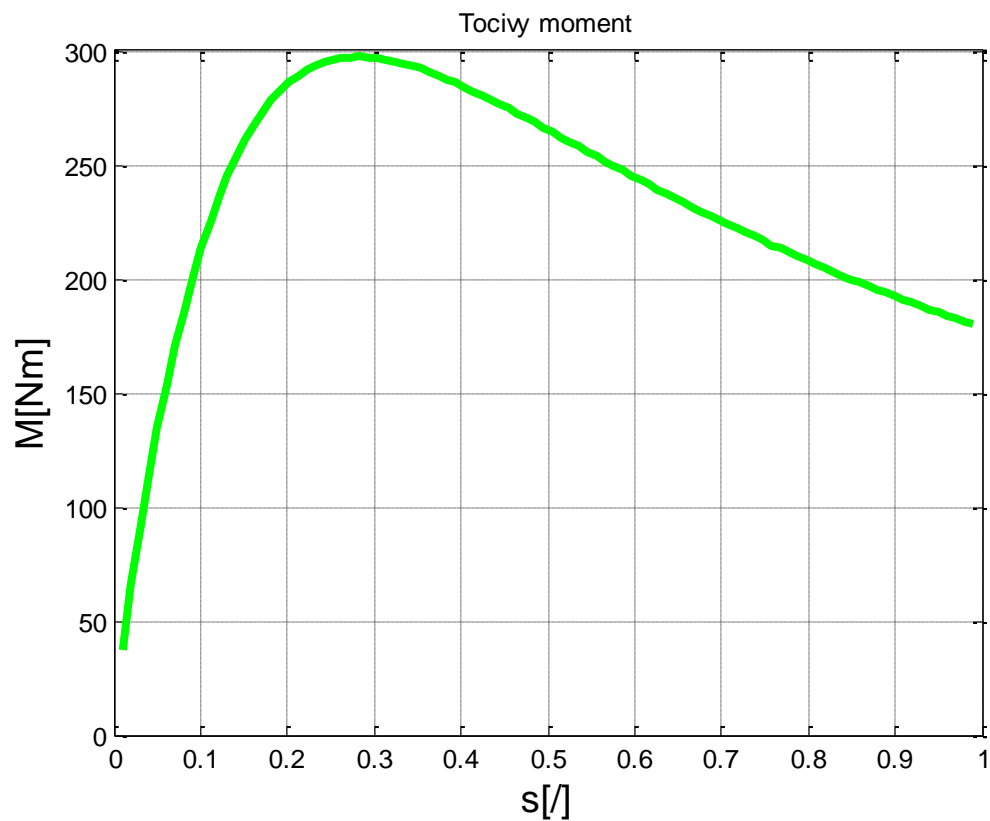
Zdroj: Vlastní zpracování

**Obrázek 3.8 - Průřez (Trychtýřovitá drážka)**

Zdroj: Vlastní zpracování

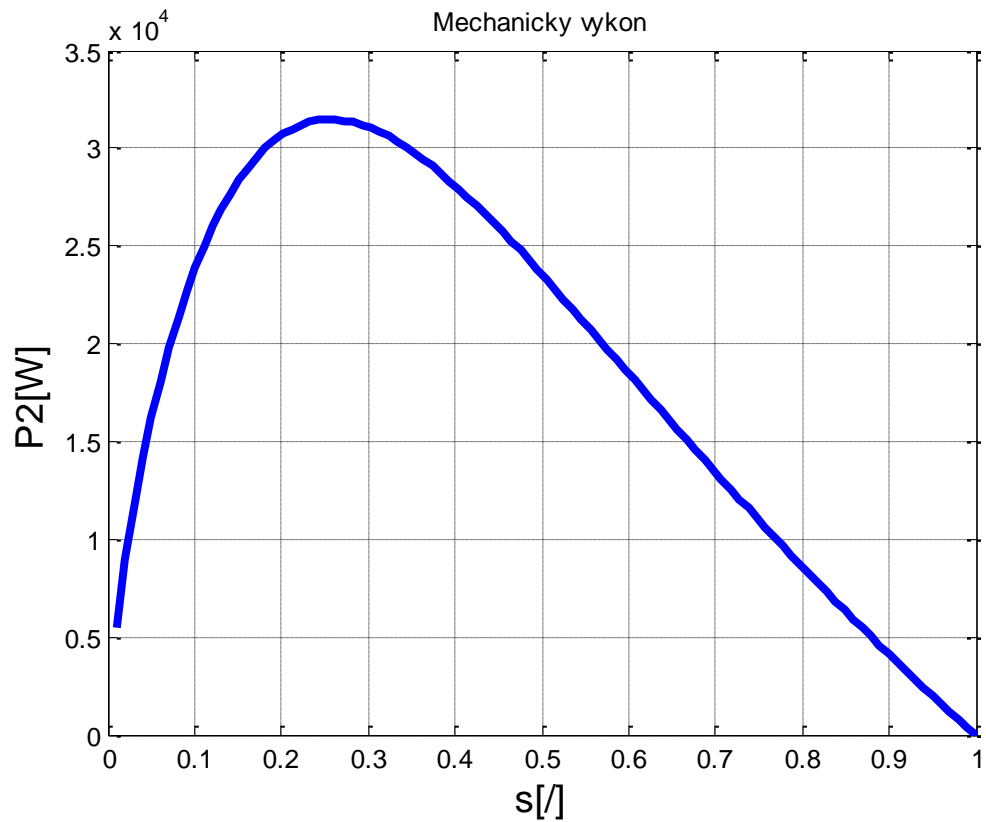
**Obrázek 3.9 - Průběh momentu (Obdélníková drážka)**

Zdroj: Vlastní zpracování.

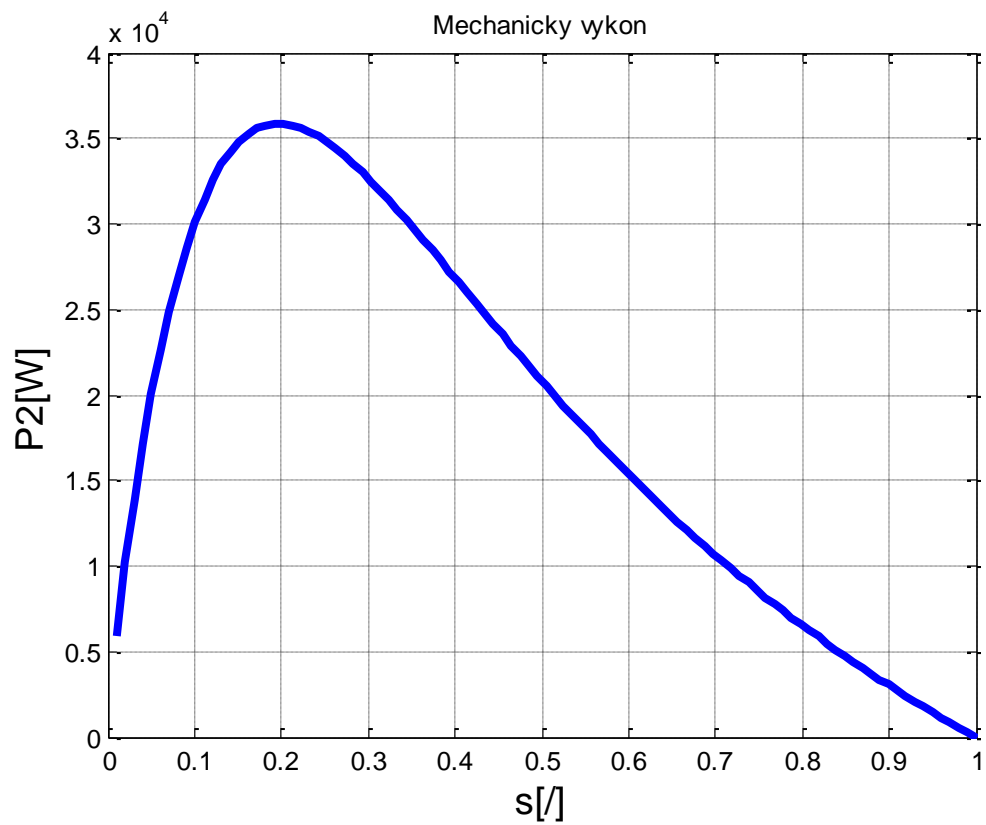
**Obrázek 3.10 - Průběh momentu (Třichtýřovitá drážka)**

Zdroj: Vlastní zpracování.





**Obrázek 3.11 - Průběh výkonu (Obdélníková drážka)**  
Zdroj: Vlastní zpracování.



**Obrázek 3.12 - Průběh výkonu (Trychtýřovitá drážka)**  
Zdroj: Vlastní zpracování.

## Závěr

V úvodu této práce byla stanovena hypotéza, že tvar rotorové drážky má vliv na celkové charakteristiky, tedy především na výkonovou a momentovou charakteristiku, asynchronního stroje.

Princip fungování asynchronního stroje, náhradní schéma i konstrukční řešení již byly vysvětleny. Hlavním cílem práce bylo vytvoření programu, který by uživateli pomohl při konstrukci asynchronního stroje. Vzhledem k tomu, že program byl vytvořen v programu MATLAB, je na uživateli požadována alespoň jeho základní znalost. Proto práce obsahuje i vysvětlení prvků potřebných pro použití této aplikace a přesný popis postupu k získání požadovaných výstupů.

Při vývoji programu došlo k několika zjednodušením z důvodu usnadnění používání programu pro uživatele. Jedná se především o měrný elektrický odpor rotorové tyče, kde v programu lze zadat jeho hodnotu pouze pro celý průřez drážky. Toto zjednodušení znemožňuje použití programu pro výpočet rozběhových charakteristik dvojité klece na krátko s různými materiály rotorových tyčí. Dalším zjednodušením je, že při zadávání vektoru  $k_r$ , se při výpočtu zanedbává vliv činitele  $k_x$ .

V práci byly popsány dvě různé metody výpočtu rozběhových charakteristik, přičemž jako ta, která byla vhodná pro použití v aplikaci, byla vybrána obecná metoda výpočtu vlivu povrchového jevu v rotorových tyčích libovolného tvaru. Tato metoda je popsána v [3] a byla vybrána pro použití aplikace, jelikož splňuje její hlavní předpoklad a to právě libovolný tvar drážky.

V závěru práce byly vybrány dva tvary drážky a to obdélníkový a tzv. trychtýřovitý tvar. Po výpočtu pomocí aplikace se tak potvrdila hypotéza, že změna tvaru této drážky ovlivňuje v nemalé míře záběrný moment asynchronního stroje a tím pádem také ostatní rozběhové charakteristiky, např. graficky znázorněný průběh točivého momentu a průběh mechanického výkonu.

## **Seznam literatury a informačních zdrojů**

- [1]. Kohout, J. Metody matematického modelování. Plzeň : ZČU V Plzni, 2007.
- [2]. Bartoš, V. Elektrické stroje I,II. Plzeň : VŠSE v Plzni - ediční středisko, 1986.
- [3]. Kopylov, I.P. a kol. Stavba elektrických stroj. Praha : SNTL, 1988.
- [4]. Šimek, J. Příprava výukového materiálu pro tvorbu GUI v MATLABu. České Budějovice  
Jihočeská univerzita v Českých Budějovicích, 2012.
- [5]. Kocman, S. Asynchronní stroje. Ostrava : FEI VŠV-TU, 2002.
- [6]. MATLAB. Napověda programu MATLAB - MATLAB Help.

## Příloha A

### Úplný výpis aplikace

```
Roz_char.m
% -----
% ----- %
% |
% |                               Diplomova Prace
% |
% |                               Rozbehove charakteristiky asynchronniho stroje
% |
% |                               Bc. Konstantin Ryba
% |
% |                               2014
% |
% |
% -----
% ----- %

function varargout = Roz_char(varargin)
% ROZ_CHAR MATLAB code for Roz_char.fig
%   ROZ_CHAR, by itself, creates a new ROZ_CHAR or raises the
existing
%   singleton*.
%
%   H = ROZ_CHAR returns the handle to a new ROZ_CHAR or the
handle to
%   the existing singleton*.
%
%   ROZ_CHAR('CALLBACK',hObject,eventData,handles,...) calls the
local
%   function named CALLBACK in ROZ_CHAR.M with the given input
arguments.
%
%   ROZ_CHAR('Property','Value',...) creates a new ROZ_CHAR or
raises the
%   existing singleton*. Starting from the left, property value
pairs are
%   applied to the GUI before Roz_char_OpeningFcn gets called.
An
%   unrecognized property name or invalid value makes property
application
%   stop. All inputs are passed to Roz_char_OpeningFcn via
varargin.
%
%   *See GUI Options on GUIDE's Tools menu. Choose "GUI allows
only one
%   instance to run (singleton)".
%
% See also: GUIDE, GUIDATA, GUIHANDLES

% Edit the above text to modify the response to help Roz_char

% Last Modified by GUIDE v2.5 28-Mar-2014 19:18:53

% Begin initialization code - DO NOT EDIT
gui_Singleton = 1;
```

```

gui_State = struct('gui_Name',      mfilename, ...
                  'gui_Singleton',  gui_Singleton, ...
                  'gui_OpeningFcn', @Roz_char_OpeningFcn, ...
                  'gui_OutputFcn',  @Roz_char_OutputFcn, ...
                  'gui_LayoutFcn',  [] , ...
                  'gui_Callback',   []);
if nargin && ischar(varargin{1})
    gui_State.gui_Callback = str2func(varargin{1});
end

if nargin
    [varargout{1:nargout}] = gui_mainfcn(gui_State, varargin{:});
else
    gui_mainfcn(gui_State, varargin{:});
end
% End initialization code - DO NOT EDIT
function varargout = Roz_char_OutputFcn(hObject, eventdata, handles)
% varargout  cell array for returning output args (see VARARGOUT);
% hObject    handle to figure
% eventdata  reserved - to be defined in a future version of MATLAB
% handles    structure with handles and user data (see GUIDATA)

% Get default command line output from handles structure
varargout{1} = handles.output;
function Roz_char_OpeningFcn(hObject, eventdata, handles, varargin)
    handles.output = hObject;

    setappdata(0, 'f', 50);           %Nastaveni f
    setappdata(0, 'm1', 3);          %Nastaveni m
    setappdata(0, 'U', 230);        %Nastaveni U
    a=ones(20,1);
    setappdata(0, 'Data', a);
    setappdata(0, 'Data_vec', a);
    setappdata(0, 'vyska', 0);
    setappdata(0, 'Rho', 1.68e-8);

    axes(handles.axes1)             %Aktivace axes1
    imshow('schema.png')           %Nacteni obrazku schema
    axes(handles.axes2)             %Aktivace axes1
    imshow('Titulka.png')          %Nacteni obrazku schema

    guidata(hObject, handles);

%-----
-----

function editR2_CreateFcn(hObject, eventdata, handles)

if ispc && isequal(get(hObject, 'BackgroundColor'),
get(0, 'defaultUicontrolBackgroundColor'))
    set(hObject, 'BackgroundColor', 'white');
end

function editLh_CreateFcn(hObject, eventdata, handles)

```

```
if ispc && isequal(get(hObject,'BackgroundColor'),
get(0,'defaultUicontrolBackgroundColor'))
    set(hObject,'BackgroundColor','white');
end

function editL2_CreateFcn(hObject, eventdata, handles)

if ispc && isequal(get(hObject,'BackgroundColor'),
get(0,'defaultUicontrolBackgroundColor'))
    set(hObject,'BackgroundColor','white');
end

function editRfe_CreateFcn(hObject, eventdata, handles)

if ispc && isequal(get(hObject,'BackgroundColor'),
get(0,'defaultUicontrolBackgroundColor'))
    set(hObject,'BackgroundColor','white');
end

function editm2_CreateFcn(hObject, eventdata, handles)

if ispc && isequal(get(hObject,'BackgroundColor'),
get(0,'defaultUicontrolBackgroundColor'))
    set(hObject,'BackgroundColor','white');
end

function editN1_CreateFcn(hObject, eventdata, handles)

if ispc && isequal(get(hObject,'BackgroundColor'),
get(0,'defaultUicontrolBackgroundColor'))
    set(hObject,'BackgroundColor','white');
end

function editkv1_CreateFcn(hObject, eventdata, handles)

if ispc && isequal(get(hObject,'BackgroundColor'),
get(0,'defaultUicontrolBackgroundColor'))
    set(hObject,'BackgroundColor','white');
end

function editR1_CreateFcn(hObject, eventdata, handles)

if ispc && isequal(get(hObject,'BackgroundColor'),
get(0,'defaultUicontrolBackgroundColor'))
    set(hObject,'BackgroundColor','white');
end

function editL1_CreateFcn(hObject, eventdata, handles)

if ispc && isequal(get(hObject,'BackgroundColor'),
get(0,'defaultUicontrolBackgroundColor'))
    set(hObject,'BackgroundColor','white');
end
```

```

function editp_CreateFcn(hObject, eventdata, handles)

if ispc && isequal(get(hObject,'BackgroundColor'),
get(0,'defaultUicontrolBackgroundColor'))
    set(hObject,'BackgroundColor','white');
end

%-----uzivatelske funkce-----
-----

function jeden_vyber (off)
set(off,'Value',0) %Nastaveni par Value na 0

function odblokovat (off)
set(off,'Enable','on') %Nastaveni par Enable na 0

function s_linear
vektor_slin=linspace(0,1,100); %Vytvoreni vektoru
od 0 do 1
setappdata(0, 'vektor_slin', vektor_slin); %Ulozeni vektoru do
root

function vypocet
f = getappdata(0, 'f'); %Nacteni hodnot
p = getappdata(0, 'p');
m1 = getappdata(0, 'm1');
m2 = getappdata(0, 'm2');
U = getappdata(0, 'U');
R1 = getappdata(0, 'R1');
R2 = getappdata(0, 'R2');
Rfe = getappdata(0, 'Rfe');
L1 = getappdata(0, 'L1');
L2 = getappdata(0, 'L2');
Lh = getappdata(0, 'Lh');
Rho = getappdata(0, 'Rho');
s_vec = getappdata(0, 'vektor_s');
s_lin = getappdata(0, 'vektor_slin');
ai = getappdata(0, 'drazka_X');
bi = getappdata(0, 'drazka_Y');
kv1 = getappdata(0, 'kv1');
N1 = getappdata(0, 'N1');
roz = getappdata(0, 'roz');
%-----

ws = 2*pi*f; %Synchronni uhlova rychlost
X1 = ws*L1; %Reaktance statoru
X2 = ws*L2; %Reaktance rotoru
Xu = ws*Lh; %Podelna reaktance
ku = 2*N1*kv1; %Napetovy prevod
kz = (m1/m2)*ku^2; %Prevod impedanci
R21 = R2*kz; %Prevedeny odpor rotoru na
stator
X21 = X2*kz; %Prevedena reaktance rotoru
na stator

```

```

if roz==1
    R21= R21*s_vec;           %Rotorovy odpor
    s = s_lin;               %Vektor skluzu
elseif roz==2
    s = s_lin;               %Vektor skluzu
else
    vypocet_skinedefekt     %Volani fce pro vypocet kr a
kx
    kR = getappdata(0, 'kR'); %Prevzeti hodnot
    kX = getappdata(0, 'kX');
    R21 = R21.*kR;           %Rotorovy odpor
    X21 = X21.*kX;           %Rotorova reaktance
    s = s_lin;               %Vektor skluzu
end
Z1h = (j*Xu*Rfe)/(Rfe+j*Xu); %Pricna impedance
Z1 = R1+j*X1;                %Statorova impedance
Z2 = R21./s+j*X21;           %Rotorova impedance
Zi = Z1h.*Z2./(Z1h+Z2);     %Impedance pro vypocet
indukovaneho napeti
Zc = Z1+Zi;                  %Celkova impedance
Ui = U.*Zi./(Zi+Z1);        %Nap. delic pro
induk.napeti
I1 = U./Zc;                  %Statorovy proud
I2 = abs(Ui./Z2);            %Rotorivy proud
P2 = m1.*R21.*(1-s)./s.*I2.^2; %Vykon
M = (m1.*R21.*(1-s)./s.*I2.^2)./(ws/p.*(1-s)); %Moment
cos_fi= real(I1)./abs(I1);   %Ucinik

setappdata(0, 'I1', I1);     %Ulozeni hodnot do root
setappdata(0, 'I2', I2);
setappdata(0, 'P2', P2);
setappdata(0, 'M', M);
setappdata(0, 'cos_fi', cos_fi);

function vypocet_skinedefekt
f = getappdata(0, 'f');      %Nacteni hodnot
Rho = getappdata(0, 'Rho');
ai = getappdata(0, 'drazka_X');
bi = getappdata(0, 'drazka_Y');

ws=2*pi*f;                  %Synchronni uhlova
rychlost
mi=4*pi*10^-7;              %Permiabilita vakua
lami=ai./bi;                %Geometricka vodivost
magneticke trubice
si=ai.*bi;                  %Prurez i-te vrstvy
vel=20;                      %Velikost vektoru
len=100;                     %velikost vystupnich
cinitelu
%-----
-----
n=0;
for a=f/len:f/len:f

    for i=1:vel

```



```

        xi(i)=2*pi*a*mi*lam(i);           %reaktance i-te vrstvy
        ri(i)=Rho/si(i);                 %Odpor i-te vrstvy
    end
    I=zeros(vel,1);                      %Vektor pro Ik
    I(vel,1)=1;
    suma_I=0;
    for j=vel-1:-1:1                      %Vypocet elementarnich
proudu
        suma_I=suma_I+I(j+1,1);
        I(j,1)=I(j+1,1)*ri(j+1)/ri(j)+i*(xi(j+1)/ri(j)*suma_I);
    end
    It=sum(I);                            %Celkový proud tyce
    suma_rI=0;                            %Vypocet odporu tyce s
uvazovanim povrchoveho jevu
    for j=1:vel
        suma_rI=suma_rI+(ri(j)*abs(I(j)^2));
    end
    rt_xi=suma_rI/abs(It)^2;
    rt1=0;                                %vypocet odporu tyce pri
rovnomernem rozlozeni proudu
    for j=1:vel
        rt1=rt1+1/ri(j);
    end
    rt=1/rt1;
    suma_xI=0;                            %Vypocet cinitele mag
vodivosti drazky s uvazovanim povrchoveho jevu
    for j=1:vel
        suma_Ina2=0;
        for jj=j:vel
            suma_Ina2=suma_Ina2+I(jj);
        end
        suma_xI=suma_xI+xi(j)*(abs(suma_Ina2))^2;
    end
    xt_xi=suma_xI/abs(It)^2;
    suma_xr=0;                            %Vypocet cinitele mag
vodivosti drazky bez uvazovanim povrchoveho jevu
    for j=1:vel
        suma_rna2=0;
        for jj=j:vel
            suma_rna2=suma_rna2+1/ri(jj);
        end
        suma_xr=suma_xr+xi(j)*(suma_rna2)^2;
    end
    xt=suma_xr*rt^2;
    n=n+1;
    if xt==0
        kX(n)=1;
    else
        kX(n)=xt_xi/xt;                  %Vypocet cinitelu kX a
kR
    end
    kR(n)=rt_xi/rt;
end
kR=kR./min(kR);                          %Pu
kX=kX./max(kX);
setappdata(0,'kR',kR);                  %Predani parametru

```

```

    setappdata(0, 'kX', kX);

%-----uicontrol funkce-----
-----

function radiobutton1_Callback(hObject, eventdata, handles)
    set(handles.radiobutton1, 'Value', 1) %
Blokace odznaceni
    off = [handles.radiobutton2, handles.radiobutton3]; %
Vypnutí zbyvajících radiobuttou
    jeden_vyber(off)
    off = [handles.editR1]; %
Aktivuje zadání parametru
    odblokovat(off)

function radiobutton2_Callback(hObject, eventdata, handles)
    set(handles.radiobutton2, 'Value', 1) %
Blokace odznaceni
    off = [handles.radiobutton1, handles.radiobutton3]; %
Vypnutí zbyvajících radiobuttou
    jeden_vyber(off)
    off = [handles.editR1]; %
Aktivuje zadání parametru
    odblokovat(off)

function radiobutton3_Callback(hObject, eventdata, handles)
    set(handles.radiobutton3, 'Value', 1) %
Blokace odznaceni
    off = [handles.radiobutton1, handles.radiobutton2]; %
Vypnutí zbyvajících radiobuttou
    jeden_vyber(off)
    off = [handles.editR1]; %
Aktivuje zadání parametru
    odblokovat(off)

function pushbutton1_Callback(hObject, eventdata, handles)
    if get(handles.radiobutton1, 'Value')==1
%Podmínka vyberu metody
        setappdata(0, 'roz', 1);
        v = Vector_gui; %Volani
    metody
        uiwait(v); %Pause
    elseif get(handles.radiobutton2, 'Value')==1
%Podmínka vyberu metody
        setappdata(0, 'roz', 2);
        s_linear %Volani
    metody
    else
        setappdata(0, 'roz', 3);
        o = obecna_gui; %Volani
    metody
        uiwait(o); %Pause
        s_linear
    end

```

```

    vypocet                                     %Volani
funkce
    off =
[handles.checkbox1,handles.checkbox2,handles.checkbox3,handles.check
box4];    % Aktivuje Vyper char
    odblokovat(off)

function editR2_Callback(hObject, eventdata, handles)
    R2 = get(handles.editR2, 'String');
    R2 = str2double(R2);
    setappdata(0, 'R2', R2);
    off = [handles.editL2];    % Aktivuje zadani
parametru
    odblokovat(off)

function editL2_Callback(hObject, eventdata, handles)
    L2 = get(handles.editL2, 'String');
    L2 = str2double(L2);
    setappdata(0, 'L2', L2);
    off =
[handles.radiobutton1,handles.radiobutton2,handles.radiobutton3];
% Aktivuje zadani parametru
    odblokovat(off)

function editR1_Callback(hObject, eventdata, handles)
    R1 = get(handles.editR1, 'String');
    R1 = str2double(R1);
    setappdata(0, 'R1', R1);
    off = [handles.editL1];    % Aktivuje zadani
parametru
    odblokovat(off)

function editL1_Callback(hObject, eventdata, handles)
    L1 = get(handles.editL1, 'String');
    L1 = str2double(L1);
    setappdata(0, 'L1', L1);
    off = [handles.editm2];    % Aktivuje zadani
parametru
    odblokovat(off)

function editm2_Callback(hObject, eventdata, handles)
    m2 = get(handles.editm2, 'String');
    m2 = str2double(m2);
    setappdata(0, 'm2', m2);
    off = [handles.editN1];    % Aktivuje zadani
parametru
    odblokovat(off)

function editN1_Callback(hObject, eventdata, handles)
    N1 = get(handles.editN1, 'String');
    N1 = str2double(N1);
    setappdata(0, 'N1', N1);
    off = [handles.editkv1];    % Aktivuje zadani
parametru
    odblokovat(off)

```

```

function editkv1_Callback(hObject, eventdata, handles)
    kv1      = get(handles.editkv1, 'String');
    kv1      = str2double(kv1);
    setappdata(0, 'kv1', kv1);
    off      = [handles.editp];           % Aktivuje zadani
parametru
    odblokovat(off)

function editp_Callback(hObject, eventdata, handles)
    p        = get(handles.editp, 'String');
    p        = str2double(p);
    setappdata(0, 'p', p);
    off      = [handles.editRfe];       % Aktivuje zadani
parametru
    odblokovat(off)

function editRfe_Callback(hObject, eventdata, handles)
    Rfe      = get(handles.editRfe, 'String');
    Rfe      = str2double(Rfe);
    setappdata(0, 'Rfe', Rfe);
    off      = [handles.editLh];       % Aktivuje zadani
parametru
    odblokovat(off)

function editLh_Callback(hObject, eventdata, handles)
    Lh       = get(handles.editLh, 'String');
    Lh       = str2double(Lh);
    setappdata(0, 'Lh', Lh);
    off      = [handles.pushbutton1];  % Aktivuje zadani
parametru
    odblokovat(off)

function checkbox4_Callback(hObject, eventdata, handles)
    axes(handles.axes2);
    s_lin=getappdata(0, 'vektor_slin'); %Nacteni hodnot
    cos_fi  =getappdata(0, 'cos_fi');
    plot([0, s_lin], [0, cos_fi], 'k', 'LineWidth', 3) %Graf
    title('Ucinik')
    xlabel('s[/]', 'FontSize', 14)
    ylabel('cos(\phi)', 'FontSize', 14)
    grid on
    set(handles.checkbox4, 'Value', 1) % Blokace
odznaceni
    off      =
[handles.checkbox1, handles.checkbox2, handles.checkbox3]; % Vypnuti
zbyvajicich radiobuttonu
    jeden_vyber(off)

function checkbox3_Callback(hObject, eventdata, handles)
    axes(handles.axes2);
    s_lin=getappdata(0, 'vektor_slin'); %Nacteni hodnot
    I1      =getappdata(0, 'I1');
    I2      =getappdata(0, 'I2');

```

```

plot([0,s_lin],[0,abs(I1)],'m',[0,s_lin],[0,I2],'c','LineWidth',3)
%Graf
    title('Statorovy a rotorovy proud')
    xlabel('s[/]', 'FontSize',14)
    ylabel('I[A]', 'FontSize',14)
    legend('I_s','I_r')
    grid on
    set(handles.checkbox3,'Value',1) % Blokace
odznaceni
    off =
[handles.checkbox1,handles.checkbox2,handles.checkbox4]; % Vypnuti
zbyvajicich radiobuttonu
    jeden_vyber(off)

function checkbox2_Callback(hObject, eventdata, handles)
    axes(handles.axes2);
    s_lin=getappdata(0,'vektor_slin'); %Nacteni hodnot
    P2 =getappdata(0,'P2');
    plot(s_lin,P2,'b','LineWidth',3) %Graf
    title('Mechanicky vykon')
    xlabel('s[/]', 'FontSize',14)
    ylabel('P2[W]', 'FontSize',14)
    grid on
    set(handles.checkbox2,'Value',1) % Blokace
odznaceni
    off =
[handles.checkbox1,handles.checkbox3,handles.checkbox4]; % Vypnuti
zbyvajicich radiobuttonu
    jeden_vyber(off)

function checkbox1_Callback(hObject, eventdata, handles)
    axes(handles.axes2);
    s_lin=getappdata(0,'vektor_slin'); %Nacteni hodnot
    M =getappdata(0,'M');
    plot(s_lin,M,'g','LineWidth',3) %Graf
    title('Tocivy moment')
    xlabel('s[/]', 'FontSize',14)
    ylabel('M[Nm]', 'FontSize',14)
    grid on
    set(handles.checkbox1,'Value',1) % Blokace
odznaceni
    off =
[handles.checkbox2,handles.checkbox3,handles.checkbox4]; % Vypnuti
zbyvajicich radiobuttonu
    jeden_vyber(off)

```

Obecna\_gui.m

```

% -----
% ----- %
%|
%|          Diplomova Prace
%|
%|          Rozbehove charakteristiky asynchronniho stroje
%|
%|          Bc. Konstantin Ryba
%|
%|          2014
%|
% -----
% ----- %
function varargout = obecna_gui(varargin)
% OBECA_GUI MATLAB code for obecna_gui.fig
%   OBECA_GUI, by itself, creates a new OBECA_GUI or raises the
existing
%   singleton*.
%
%   H = OBECA_GUI returns the handle to a new OBECA_GUI or the
handle to
%   the existing singleton*.
%
%   OBECA_GUI('CALLBACK', hObject,eventData,handles,...) calls
the local
%   function named CALLBACK in OBECA_GUI.M with the given input
arguments.
%
%   OBECA_GUI('Property','Value',...) creates a new OBECA_GUI
or raises the
%   existing singleton*. Starting from the left, property value
pairs are
%   applied to the GUI before obecna_gui_OpeningFcn gets called.
An
%   unrecognized property name or invalid value makes property
application
%   stop. All inputs are passed to obecna_gui_OpeningFcn via
varargin.
%
%   *See GUI Options on GUIDE's Tools menu. Choose "GUI allows
only one
%   instance to run (singleton)".
%
% See also: GUIDE, GUIDATA, GUIHANDLES

% Edit the above text to modify the response to help obecna_gui

% Last Modified by GUIDE v2.5 27-Apr-2014 11:51:19

% Begin initialization code - DO NOT EDIT
gui_Singleton = 1;
gui_State = struct('gui_Name',       mfilename, ...
                  'gui_Singleton',  gui_Singleton, ...
                  'gui_OpeningFcn', @obecna_gui_OpeningFcn, ...
                  'gui_OutputFcn',  @obecna_gui_OutputFcn, ...

```

```

        'gui_LayoutFcn', [] , ...
        'gui_Callback', []);
if nargin && ischar(varargin{1})
    gui_State.gui_Callback = str2func(varargin{1});
end

if nargin
    [varargout{1:nargout}] = gui_mainfcn(gui_State, varargin{:});
else
    gui_mainfcn(gui_State, varargin{:});
end

function obecna_gui_OpeningFcn(hObject, eventdata, handles,
varargin)
% This function has no output args, see OutputFcn.
% hObject    handle to figure
% eventdata  reserved - to be defined in a future version of MATLAB
% handles    structure with handles and user data (see GUIDATA)
% varargin   command line arguments to obecna_gui (see VARARGIN)

% Choose default command line output for obecna_gui
handles.output = hObject;
Vyska    = getappdata(0, 'vyska');           %Nastaveni
predchozich hodnot
set(handles.edit1, 'String', Vyska);
Data     = getappdata(0, 'Data');
set(handles.uitable2, 'data', Data);
Rho      = getappdata(0, 'Rho');
set(handles.edit2, 'String', Rho);
% Update handles structure
guidata(hObject, handles);

function varargout = obecna_gui_OutputFcn(hObject, eventdata,
handles)
% varargout  cell array for returning output args (see VARARGOUT);
% hObject    handle to figure
% eventdata  reserved - to be defined in a future version of MATLAB
% handles    structure with handles and user data (see GUIDATA)

% Get default commandline output from handles structure
varargout{1} = handles.output;

%-----
-----
function edit1_CreateFcn(hObject, eventdata, handles)
% hObject    handle to edit1 (see GCBO)
% eventdata  reserved - to be defined in a future version of MATLAB
% handles    empty - handles not created until after all CreateFcns
called

% Hint: edit controls usually have a white background on Windows.
%       See ISPC and COMPUTER.
if ispc && isequal(get(hObject, 'BackgroundColor'),
get(0, 'defaultUiControlBackgroundColor'))
    set(hObject, 'BackgroundColor', 'white');
end

```

```

end

function edit2_CreateFcn(hObject, eventdata, handles)
% hObject    handle to edit2 (see GCBO)
% eventdata  reserved - to be defined in a future version of MATLAB
% handles    empty - handles not created until after all CreateFcns
called

% Hint: edit controls usually have a white background on Windows.
%       See ISPC and COMPUTER.
if ispc && isequal(get(hObject, 'BackgroundColor'),
get(0, 'defaultUicontrolBackgroundColor'))
    set(hObject, 'BackgroundColor', 'white');
end

%-----uicontrol funkce-----
-----

function uitable2_CellEditCallback(hObject, eventdata, handles)
    set(handles.pushbutton1, 'Enable', 'on')
%Odblokovani tlacitka
    drazka_X = get(handles.uitable2, 'data');
%Nacteni dat z tabulky
    drazka_X = drazka_X(end:-1:1);
%Obraceni poradi pro zobrazeni
    h      = get(handles.edit1, 'String');
%Nacteni vysky drazky
    h      = str2double(h);
    Y_pom  = linspace(0,h,20); %Y
souradnice pro vykresleni drazky
    drazka_Y = ones(1,length(drazka_X))*h/length(drazka_X); %Y
souradnice pro vypocet
    R      = max(drazka_X);
%Meritko pro osu X pri vykresleni
    X_pom  = drazka_X'./2; %X
souradnice pro zobrazeni s osou uprostred
    drazka_X = drazka_X(end:-1:1);
%Obraceni poradi pro vypocet
    drazka_X = drazka_X./1000;
%Prevedeni vektoru nam
    setappdata(0, 'drazka_X', drazka_X);
%Ulozeni dat do root
    setappdata(0, 'drazka_Y', drazka_Y);
%Ulozeni dat do root
    setappdata(0, 'Data', drazka_X*1000);
    axes(handles.axes1);
%Vykresleni
    plot(X_pom, Y_pom, 'b', -X_pom, Y_pom, 'b')
    axis([-R R 0 h])
%Měritko os a popis
    title('Tvar drazky')
    xlabel('Sirka drazky [mm]')
    ylabel('Vyska drazky [m]')

function edit1_Callback(hObject, eventdata, handles)

```



```
    hodnota = get(handles.edit1, 'String');
    %Nacteni hodnot z pole textu
    hodnota = str2double(hodnota);
    if hodnota>0
        set(handles.edit2, 'Enable', 'on')
    %Odblokovani Rho
        set(handles.uitable2, 'Enable', 'on')
    %Odblokovani tabulky
        setappdata(0, 'vyska', hodnota)
    else
        set(handles.edit2, 'Enable', 'off')
    %Zablokovani Rho
        set(handles.uitable2, 'Enable', 'off')
    %Zablokovani tabulky
        set(handles.pushbutton1, 'Enable', 'off')
    %Zablokovani Tlacitka
    end

function pushbutton1_Callback(hObject, eventdata, handles)
    uiresume(gcf)                %Pokracovat za volanim teto gui
    close obecna_gui            %Zavreni teto gui

function edit2_Callback(hObject, eventdata, handles)
    hodnota = get(handles.edit2, 'String');
    %Nacteni hodnoty pole textu
    hodnota = str2double(hodnota);
    if hodnota<=0
        Rho = getappdata(0, 'Rho');
        set(handles.edit2, 'String', Rho);
    %Nastaveni puvodni hodnoty
    else
        setappdata(0, 'Rho', hodnota);
    %Ulozeni rho do root
    end
```

Vector\_gui.m

```

% -----
% ----- %
%|
%|          Diplomova Prace
%|
%|          Rozbehove charakteristiky asynchronniho stroje
%|
%|          Bc. Konstantin Ryba
%|
%|          2014
%|
% -----
% ----- %
function varargout = Vector_gui(varargin)
% VECTOR_GUI MATLAB code for Vector_gui.fig
%   VECTOR_GUI, by itself, creates a new VECTOR_GUI or raises the
existing
%   singleton*.
%
%   H = VECTOR_GUI returns the handle to a new VECTOR_GUI or the
handle to
%   the existing singleton*.
%
%   VECTOR_GUI('CALLBACK',hObject,eventData,handles,...) calls
the local
%   function named CALLBACK in VECTOR_GUI.M with the given input
arguments.
%
%   VECTOR_GUI('Property','Value',...) creates a new VECTOR_GUI
or raises the
%   existing singleton*. Starting from the left, property value
pairs are
%   applied to the GUI before Vector_gui_OpeningFcn gets called.
An
%   unrecognized property name or invalid value makes property
application
%   stop. All inputs are passed to Vector_gui_OpeningFcn via
varargin.
%
%   *See GUI Options on GUIDE's Tools menu. Choose "GUI allows
only one
%   instance to run (singleton)".
%
% See also: GUIDE, GUIDATA, GUIHANDLES

% Edit the above text to modify the response to help Vector_gui

% Last Modified by GUIDE v2.5 28-Mar-2014 22:26:45

% Begin initialization code - DO NOT EDIT
gui_Singleton = 1;
gui_State = struct('gui_Name',       mfilename, ...
                  'gui_Singleton',  gui_Singleton, ...

```

```

        'gui_OpeningFcn', @Vector_gui_OpeningFcn, ...
        'gui_OutputFcn', @Vector_gui_OutputFcn, ...
        'gui_LayoutFcn', [] , ...
        'gui_Callback', []);
if nargin && ischar(varargin{1})
    gui_State.gui_Callback = str2func(varargin{1});
end

if nargin
    [varargout{1:nargout}] = gui_mainfcn(gui_State, varargin{:});
else
    gui_mainfcn(gui_State, varargin{:});
end

function Vector_gui_OpeningFcn(hObject, eventdata, handles,
varargin)
% This function has no output args, see OutputFcn.
% hObject    handle to figure
% eventdata  reserved - to be defined in a future version of MATLAB
% handles    structure with handles and user data (see GUIDATA)
% varargin   command line arguments to Vector_gui (see VARARGIN)

% Choose default command line output for Vector_gui
handles.output = hObject;
vec=getappdata(0,'Data_vec');
set(handles.uitable1,'Data',vec);
% Update handles structure
guidata(hObject, handles);

function varargout = Vector_gui_OutputFcn(hObject, eventdata,
handles)
% varargout  cell array for returning output args (see VARARGOUT);
% hObject    handle to figure
% eventdata  reserved - to be defined in a future version of MATLAB
% handles    structure with handles and user data (see GUIDATA)

% Get default command line output from handles structure
varargout{1} = handles.output;

%-----uicontrol funkce-----
-----

function uitable1_CellEditCallback(hObject, eventdata, handles)
    Y = get(handles.uitable1, 'data');           %Nacteni dat z tabulky
    setappdata(0, 'Data_vec', Y);
    X = linspace(0,1,20);                       %Vtvoreni pomocneho
vyktoru
    R = min(Y);                                 %Zjisteni min hodnoty
    Y = Y./R;                                   %Pomerna hodnota s
    xx = linspace(0,1,100);                    %Pomocny vektor pro
prolozeni
    yy = spline(X,Y,xx);                       %Prolozeni
    setappdata(0, 'X_vector', X);              %Aktualizace dat v
handles
    setappdata(0, 'vektor_s', yy);

```

```
axes(handles.axes2);  
plot(xx,yy,'r',X,Y,'.')           %Vykresleni  
title('Průběh skluzu s')  
xlabel('t [-]')  
ylabel('s [-]')  
  
function pushbutton2_Callback(hObject, eventdata, handles)  
    uiresume(gcf)                   %Pokracovat za volanim teto gui  
    close                           %Zavreni teto gui
```